

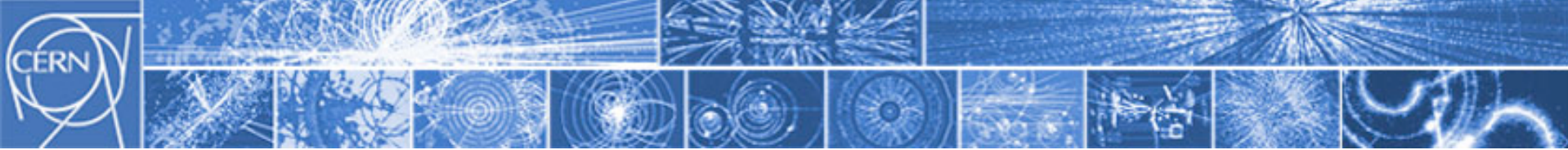


European Organization for Nuclear Research
Organisation Européenne pour la Recherche Nucléaire

Fisica delle particelle oggi

Il Modello Standard and Beyond

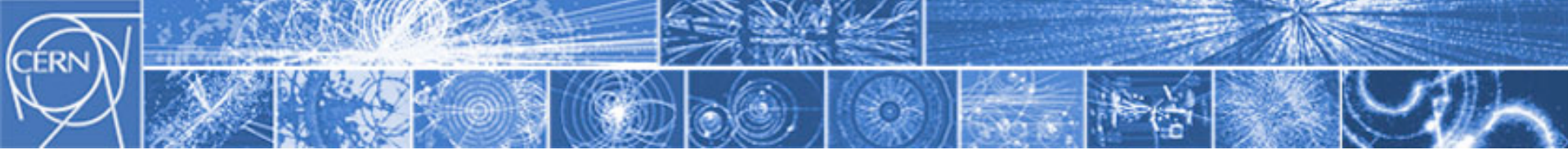
- Bosone di Higgs
- SuperSimmetria
- Materia Oscura



Cosa si fa al CERN

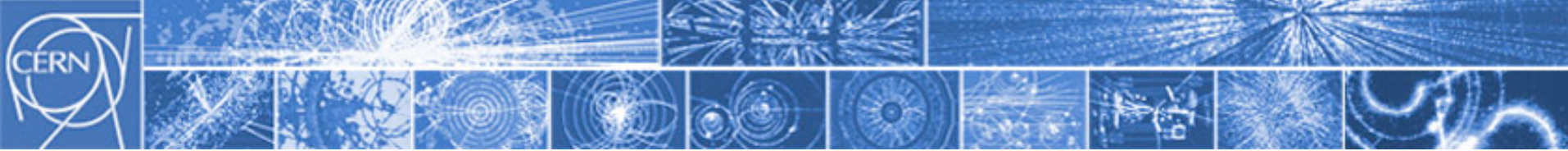
Ricerca fondamentale in Fisica delle Particelle

- i costituenti elementari della materia
- le forze fondamentali che li governano
- l'origine, il contenuto e la struttura dell'Universo



Modello Standard

(della fisica delle particelle elementari)



Il Modello Standard è la costruzione ('scoperta') fondamentale della fisica delle particelle, nella seconda metà del XX secolo.

XIX secolo elettromagnetismo

1932 teoria di Fermi del decadimento beta - interazioni deboli

1960's unificazione em-debole: teoria ElectroWeak
(Glashow, Weinberg, Salam)

1981 scoperta bosoni W e Z (Rubbia)

1970's teoria della QCD - interazioni nucleari forti
(Gross, Politzer, Wilczek)

1936 μ

1956 ν_e

1962 ν_μ

1974 τ

2000 ν_τ

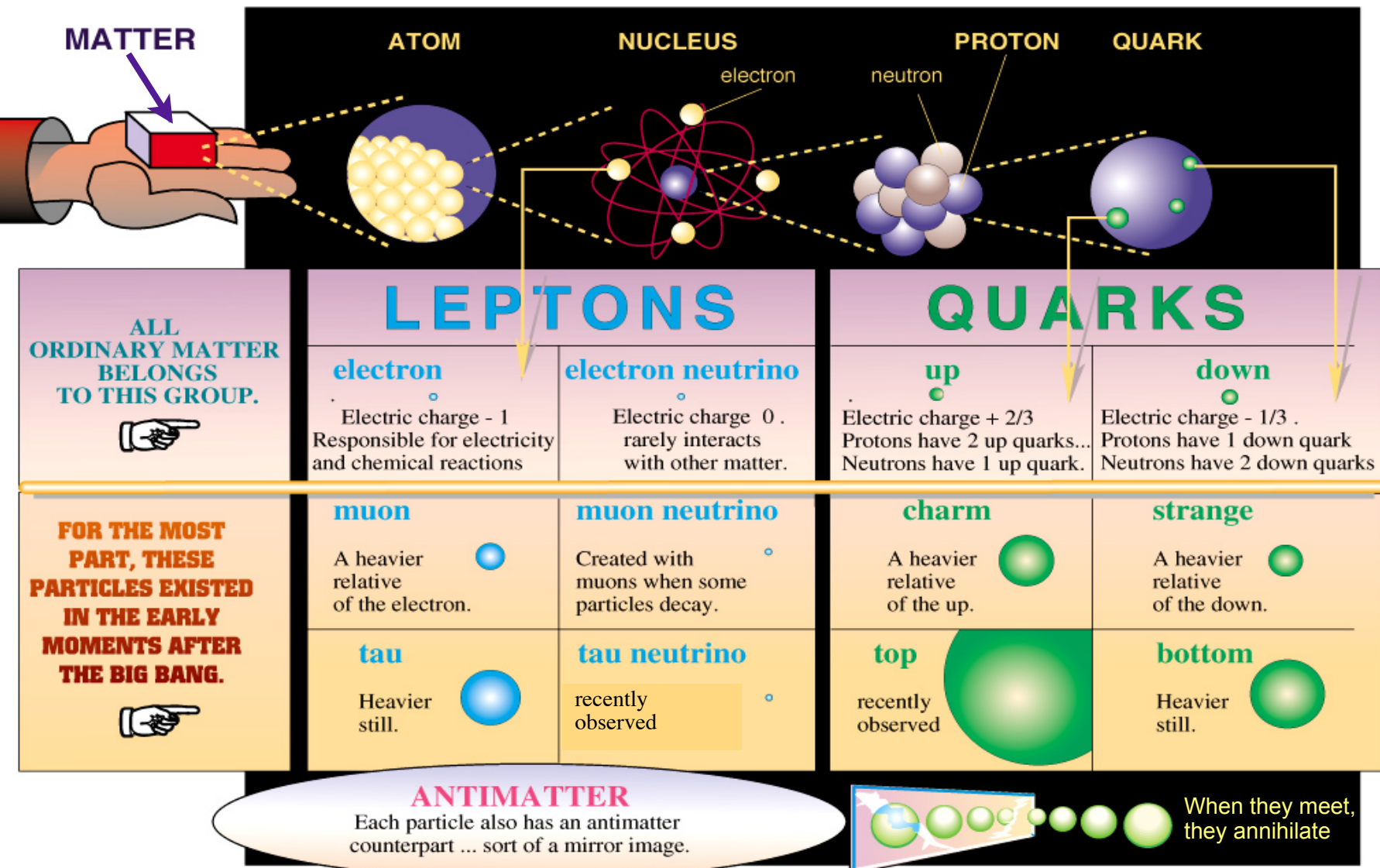
1968 s quark

1974 c quark

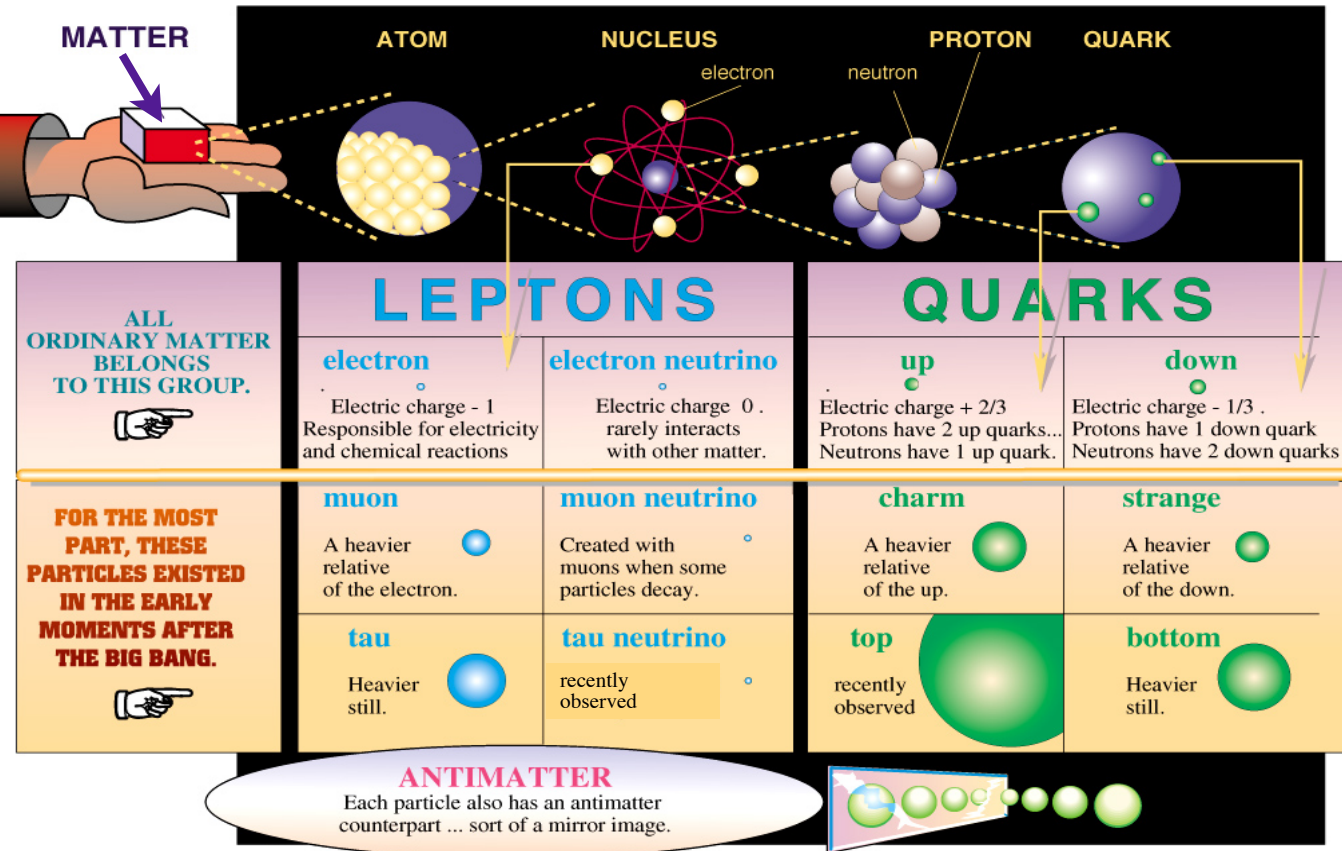
1977 b quark

1995 t quark

STANDARD MODEL



STANDARD MODEL



from Time magazine

FORCES

Electromagnetic

Photon



Atoms
Light
Chemistry
Electronics

Weak

Bosons (W,Z)



Neutron decay
Beta radioactivity
Neutrino interactions
Burning of the sun

Strong

Gluons (8)



Quarks



Mesons
Baryons



Nuclei

Gravitational

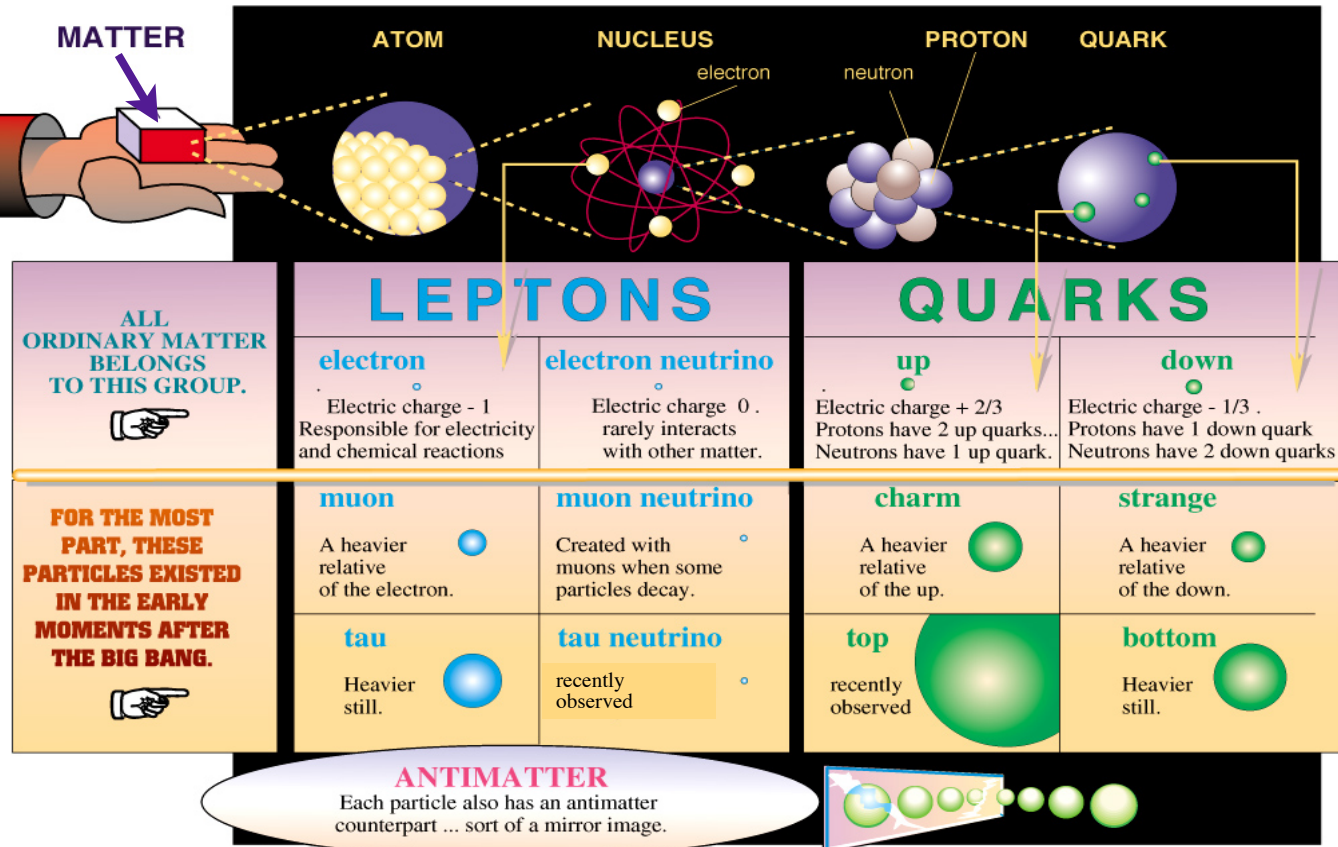
Graviton ?



Solar system
Galaxies
Black holes

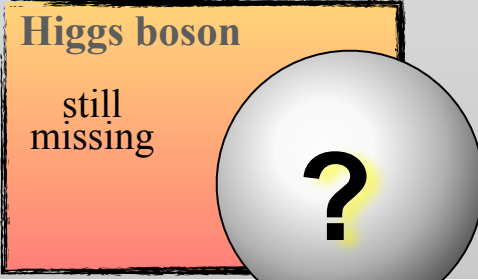


STANDARD MODEL

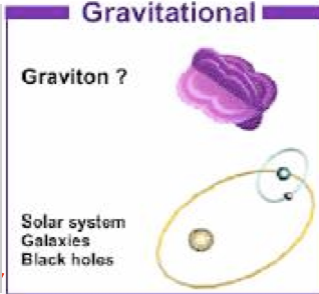
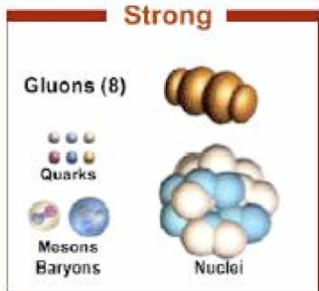
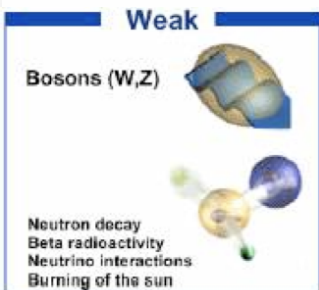
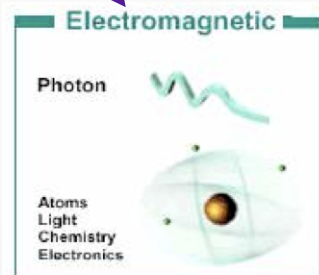


from Time magazine

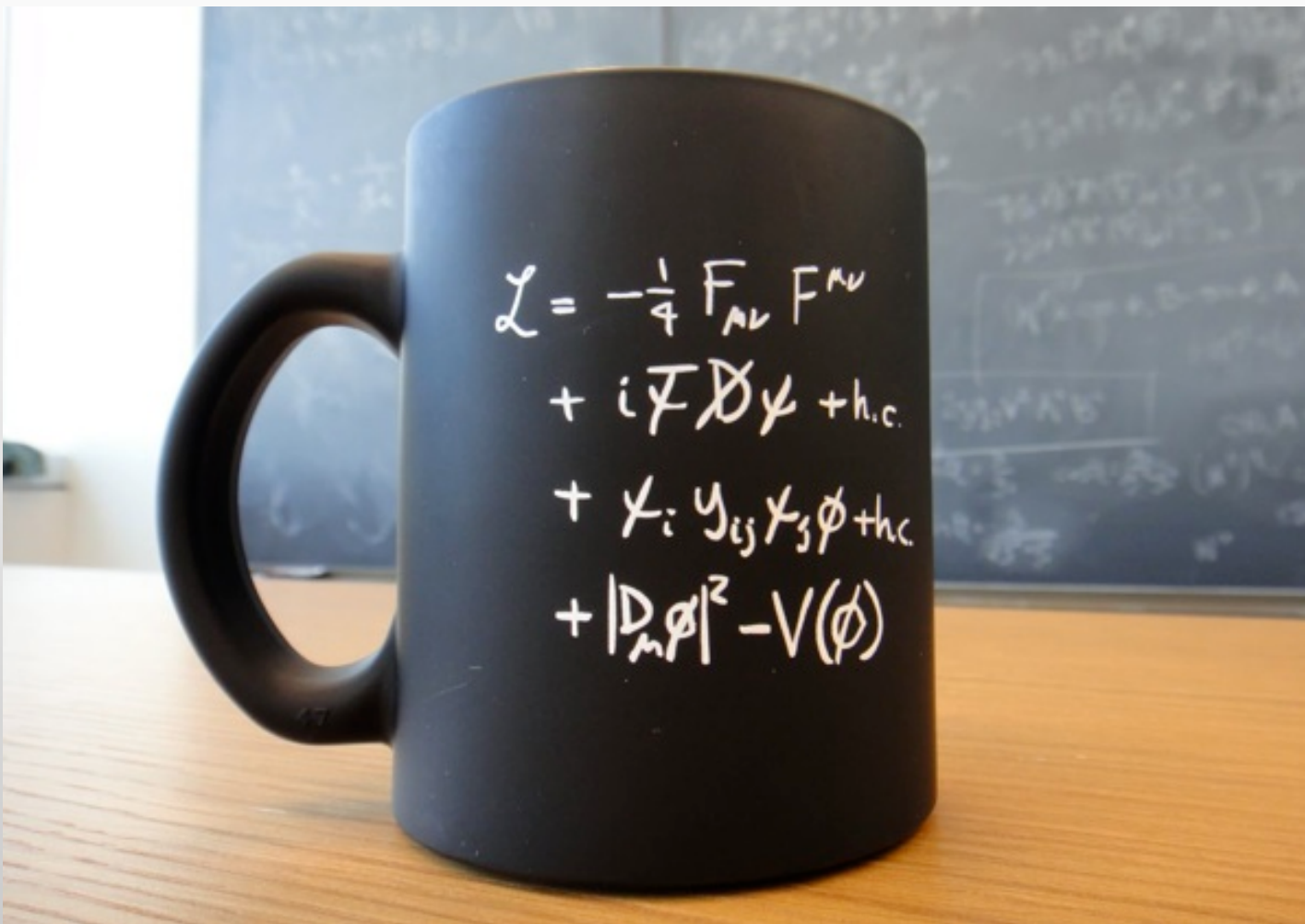
CERN AC_EI1-7



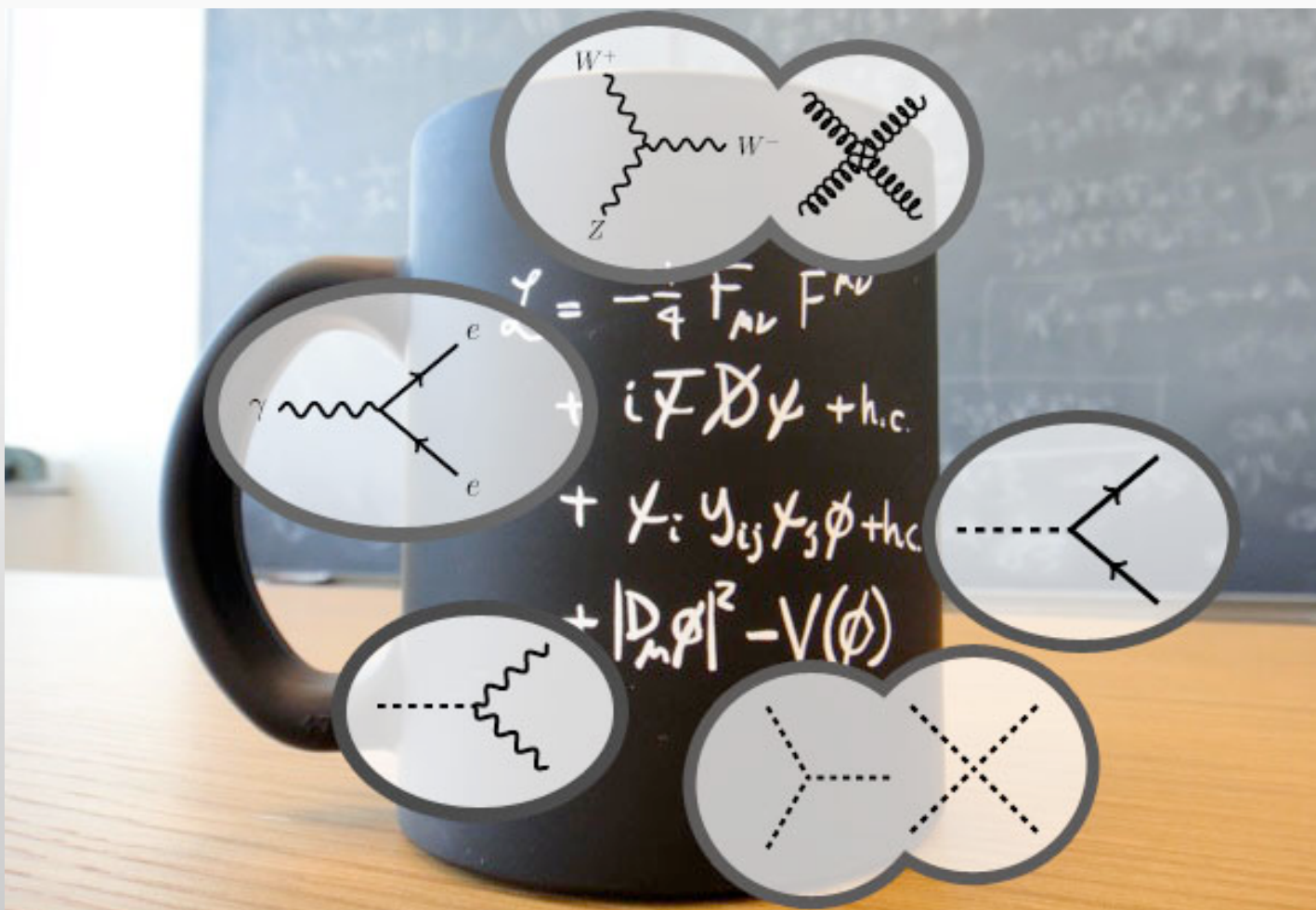
FORCES

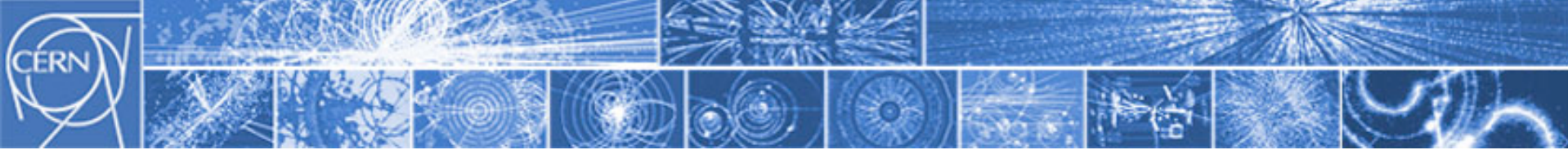


Standard Model lagrangian



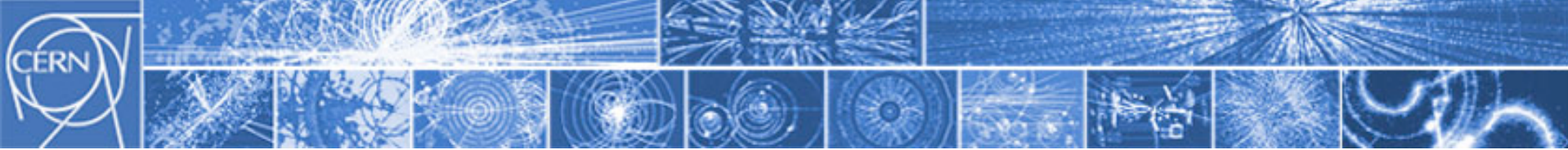
Standard Model lagrangian





Problemi aperti in Fisica delle Particelle

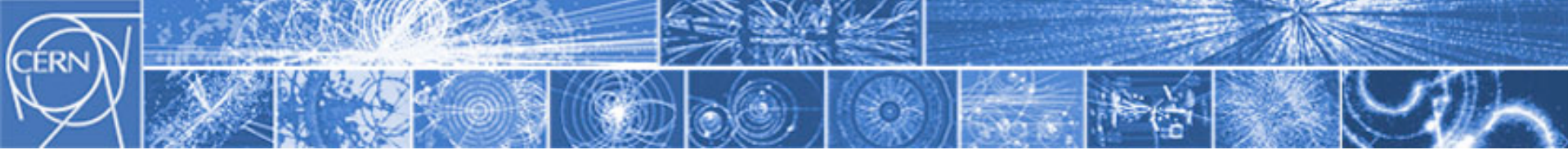
- l'origine della massa e il bosone di Higgs



Problemi aperti in Fisica delle Particelle

- l'origine della massa e il bosone di Higgs





Problemi aperti in Fisica delle Particelle

- l'origine della massa e il bosone di Higgs
- la supersimmetria

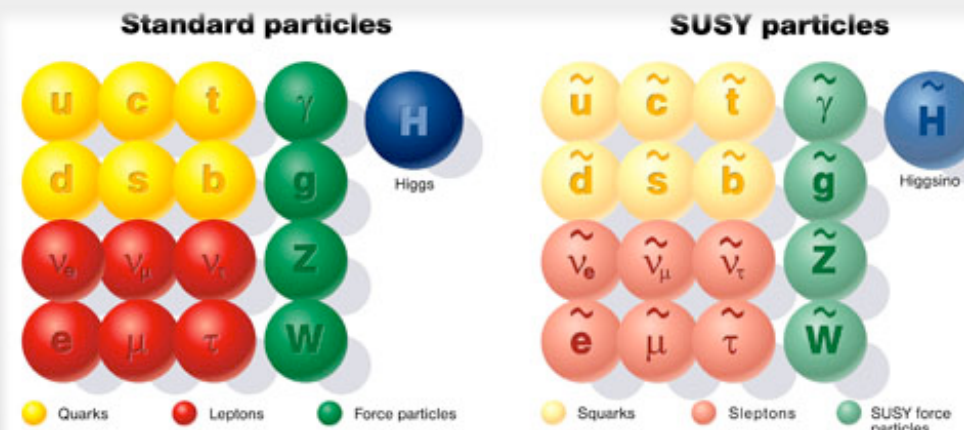
(forse c'è un partner supersimmetrico per ogni tipo di particella nota!)

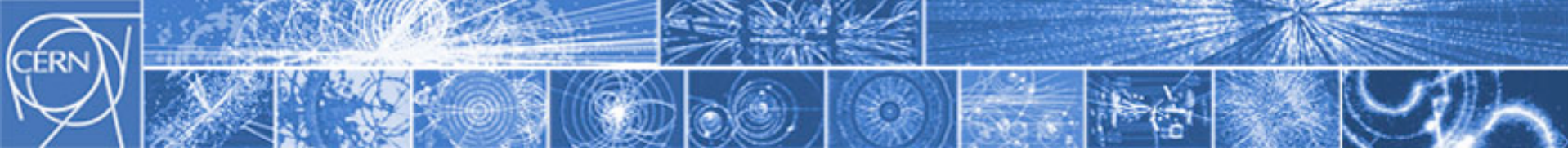


Problemi aperti in Fisica delle Particelle

- l'origine della massa e il bosone di Higgs
- la supersimmetria

(forse c'è un partner supersimmetrico per ogni tipo di particella nota!)





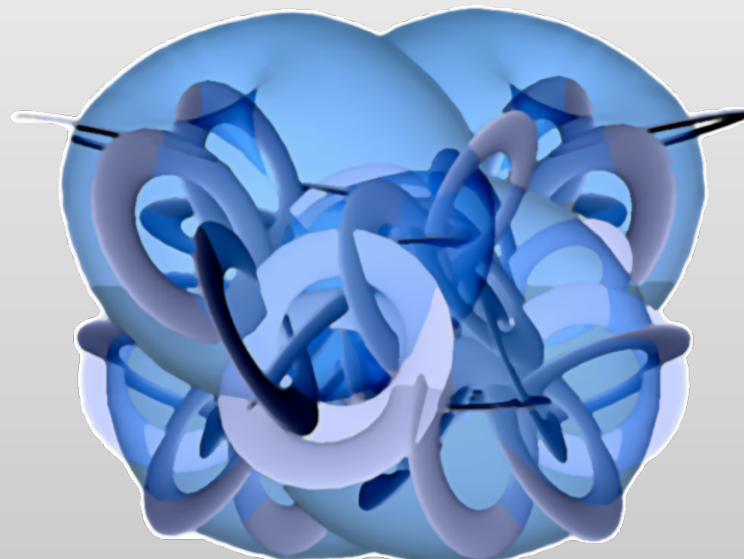
Problemi aperti in Fisica delle Particelle

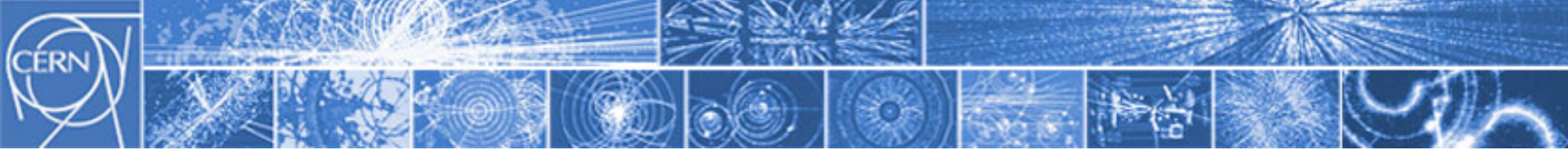
- l'origine della massa e il bosone di Higgs
- la supersimmetria
(forse c'è un partner supersimmetrico per ogni tipo di particella nota!)
- le dimensioni dello spazio-tempo
(forse ci sono più di 3 dimensioni spaziali!)



Problemi aperti in Fisica delle Particelle

- l'origine della massa e il bosone di Higgs
- la supersimmetria
(forse c'è un partner supersimmetrico per ogni tipo di particella nota!)
- le dimensioni dello spazio-tempo
(forse ci sono più di 3 dimensioni spaziali!)





Problemi aperti in Fisica delle Particelle

- l'origine della massa e il bosone di Higgs

- la supersimmetria

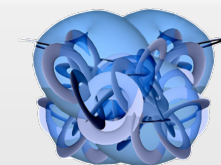
(forse c'è un partner supersimmetrico per ogni tipo di particella nota!)

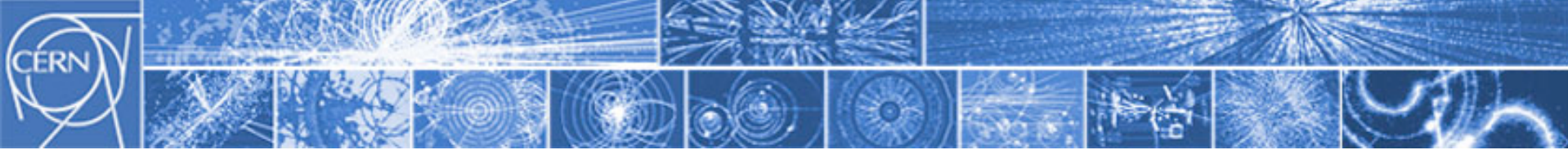
- le dimensioni dello spazio-tempo

(forse ci sono più di 3 dimensioni spaziali!)

- la Materia Oscura

(una particella sconosciuta che costituisce l'80% della materia dell'Universo!)





Problemi aperti in Fisica delle Particelle

- l'origine della massa e il bosone di Higgs

- la supersimmetria

(forse c'è un partner supersimmetrico per ogni tipo di particella nota!)

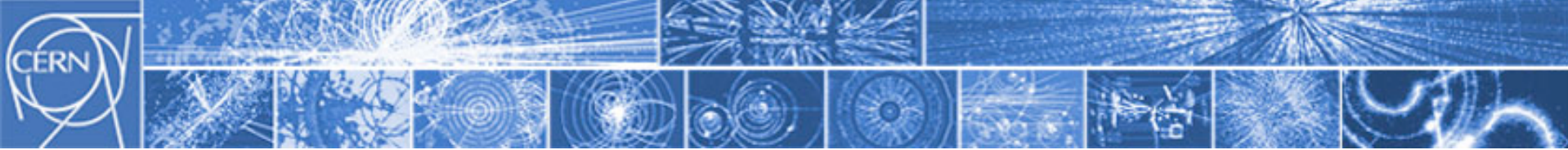
- le dimensioni dello spazio-tempo

(forse ci sono più di 3 dimensioni spaziali!)

- la Materia Oscura

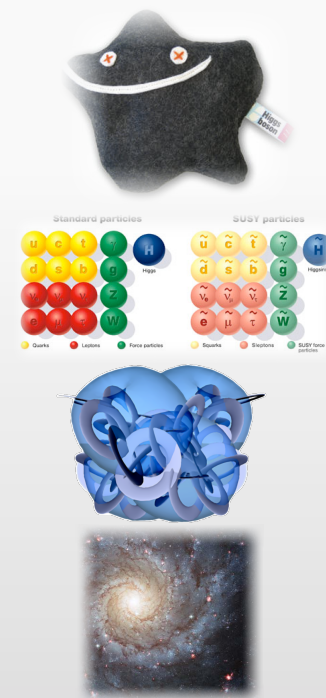
(una particella sconosciuta che costituisce l'80% della materia dell'Universo!)

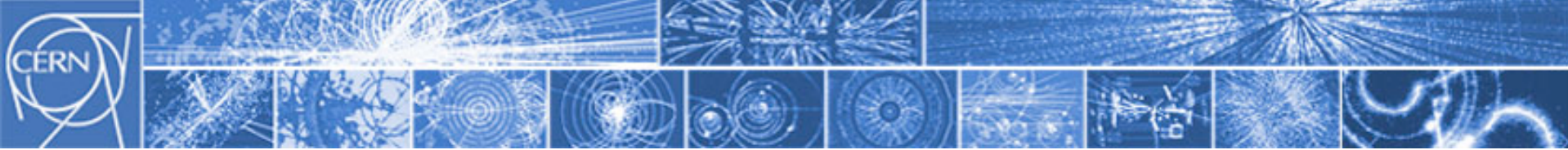




Problemi aperti in Fisica delle Particelle

- l'origine della massa e il bosone di Higgs
- la supersimmetria
(forse c'è un partner supersimmetrico per ogni tipo di particella nota!)
- le dimensioni dello spazio-tempo
(forse ci sono più di 3 dimensioni spaziali!)
- la Materia Oscura
(una particella sconosciuta che costituisce l'80% della materia dell'Universo!)
- l'asimmetria tra materia e antimateria
(dove è finita tutta l'antimateria dell'Universo?)





Problemi aperti in Fisica delle Particelle

- l'origine della massa e il bosone di Higgs



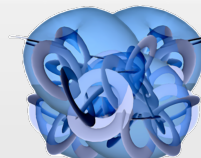
- la supersimmetria

(forse c'è un partner supersimmetrico per ogni tipo di particella nota!)



- le dimensioni dello spazio-tempo

(forse ci sono più di 3 dimensioni spaziali!)



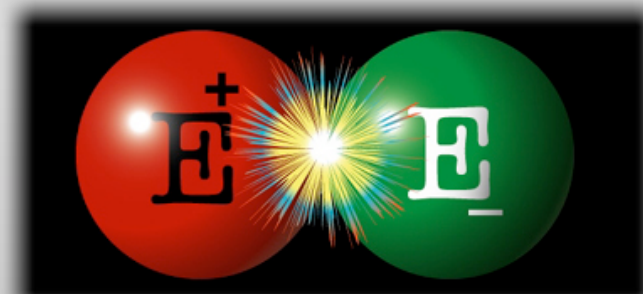
- la Materia Oscura

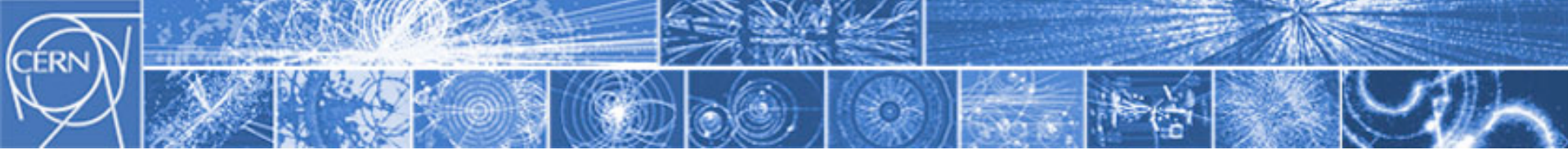
(una particella sconosciuta che costituisce l'80% della materia dell'Universo!)



- l'asimmetria tra materia e antimateria

(dove è finita tutta l'antimateria dell'Universo?)





Problemi aperti in Fisica delle Particelle

- l'origine della massa e il bosone di Higgs



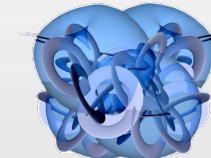
- la supersimmetria

(forse c'è un partner supersimmetrico per ogni tipo di particella nota!)



- le dimensioni dello spazio-tempo

(forse ci sono più di 3 dimensioni spaziali!)



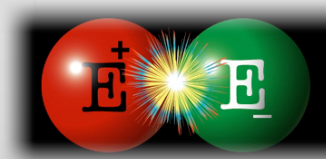
- la Materia Oscura

(una particella sconosciuta che costituisce l'80% della materia dell'Universo!)



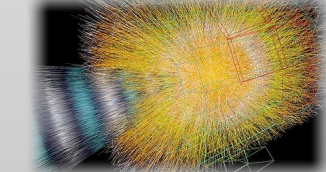
- l'asimmetria tra materia e antimateria

(dove è finita tutta l'antimateria dell'Universo?)



- il plasma di quarks e gluoni

(come diventa la materia nucleare a energie e densità elevatissime?)



- ...

Come risolvere questi problemi? o... Come si fanno le scoperte?

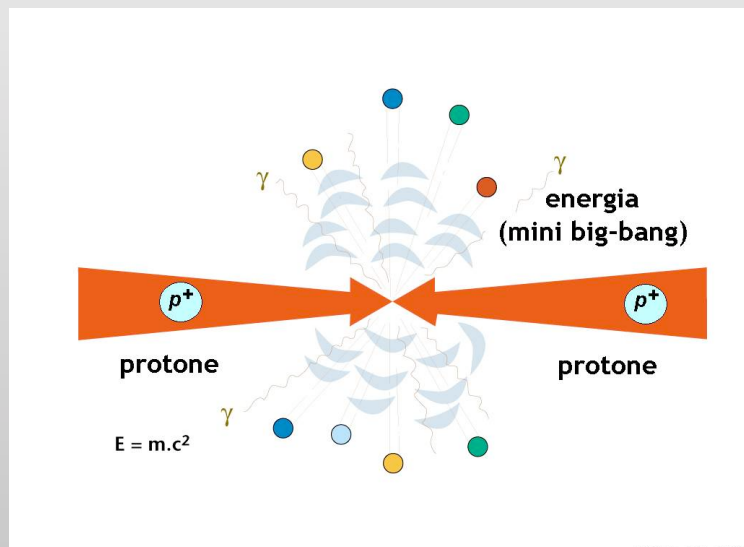
Accelerare le particelle elementari (*protoni, elettroni*)

fino a energie elevatissime (7 TeV)

e portarle a collidere. $E=mc^2$

Analizzare accuratamente i prodotti

per scoprire nuove particelle,
nuove forze,
nuova fisica...

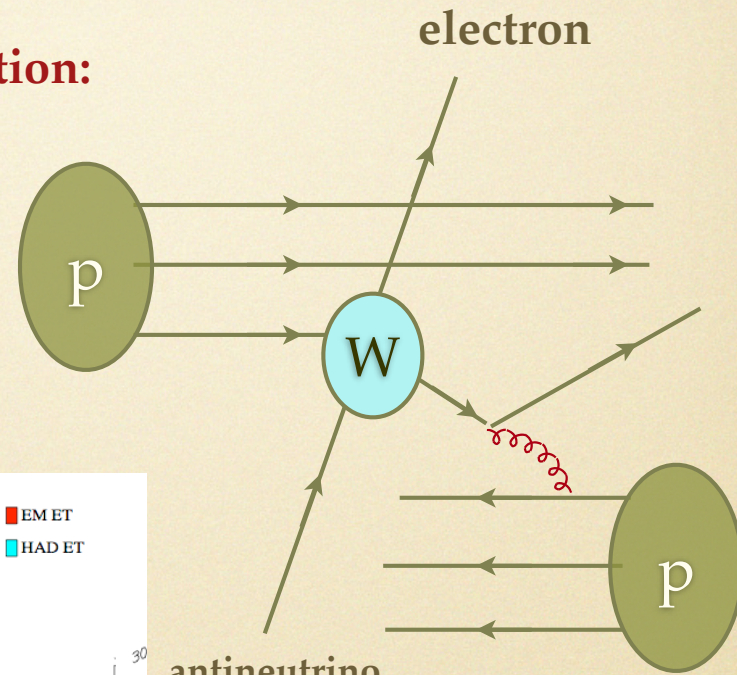
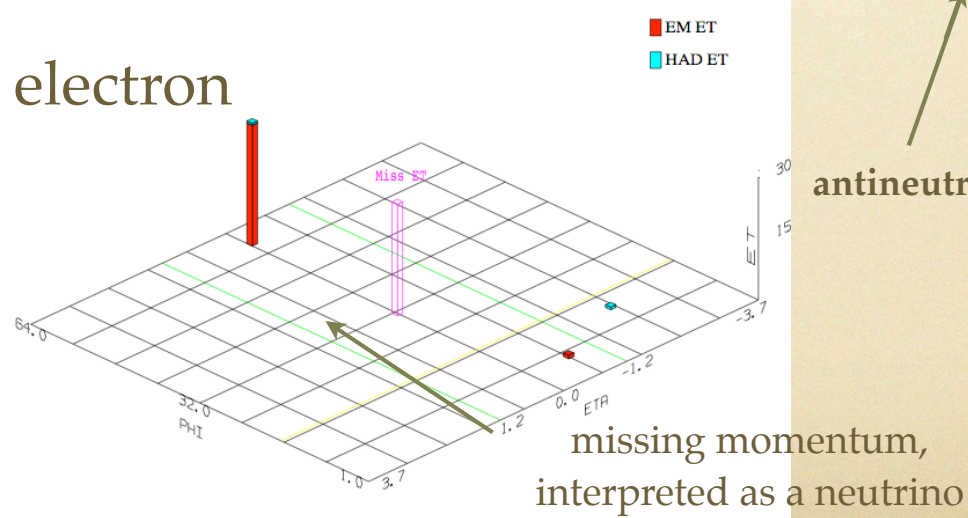


Examples of reactions in proton collisions

quark-antiquark annihilation:
 $u \bar{d} \rightarrow W$

A real-life event from
the Tevatron:

electron

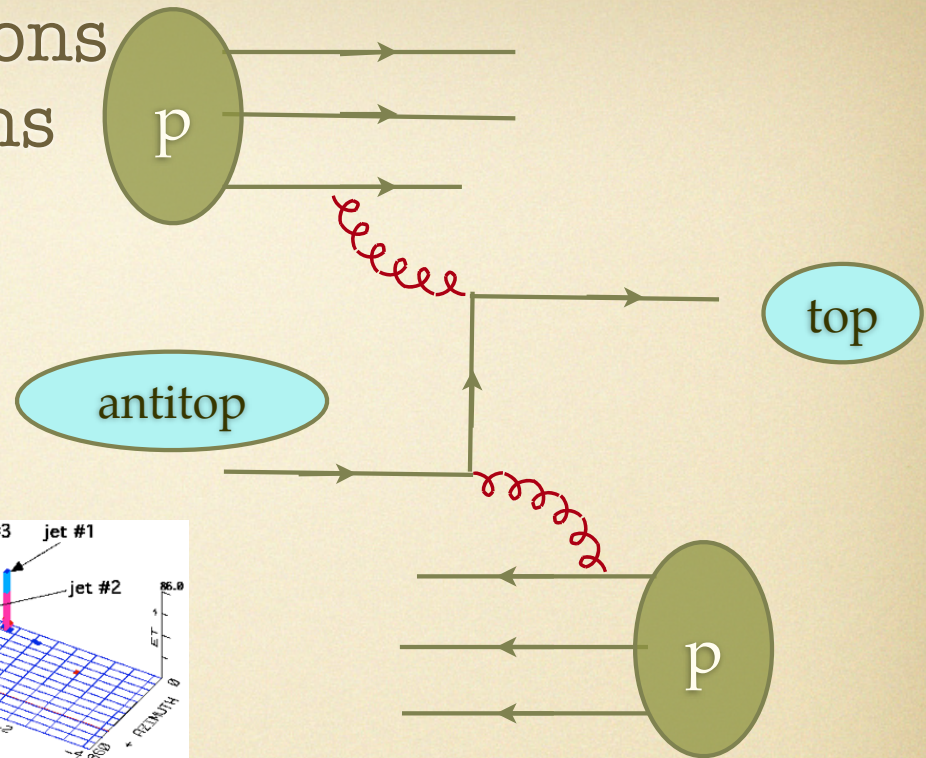


In principle the “force carrier” of new interactions could be created in the same way, provided their mass is not too large

Examples of reactions in proton collisions

gluon-gluon reactions:

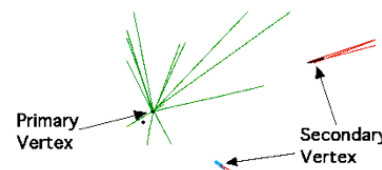
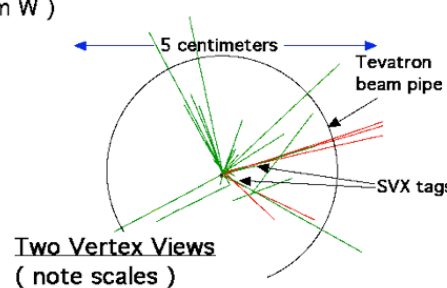
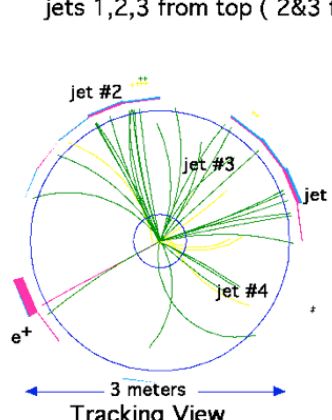
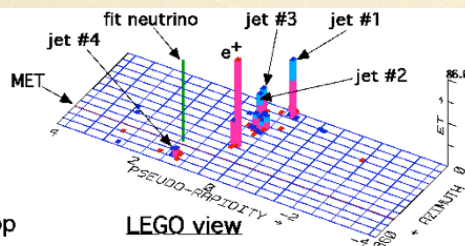
$gg \rightarrow \text{top antitop}$

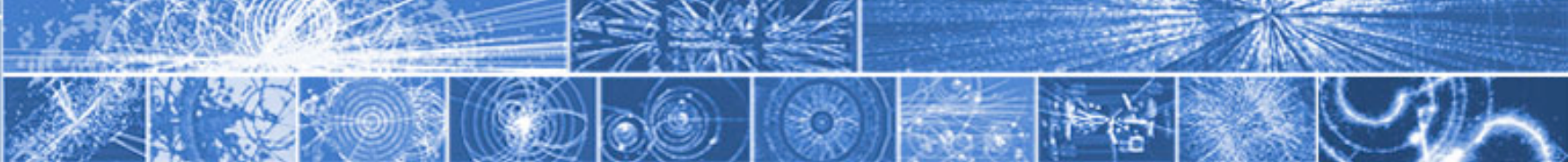


e + 4 jet event
40758_44414
24-September, 1992

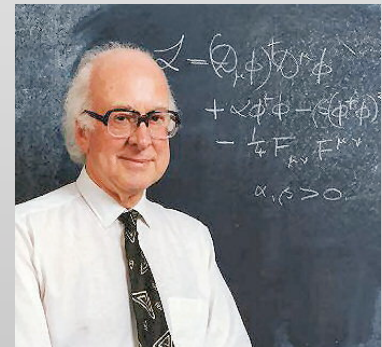
TWO jets tagged by SVX
fit top mass is 170 ± 10 GeV

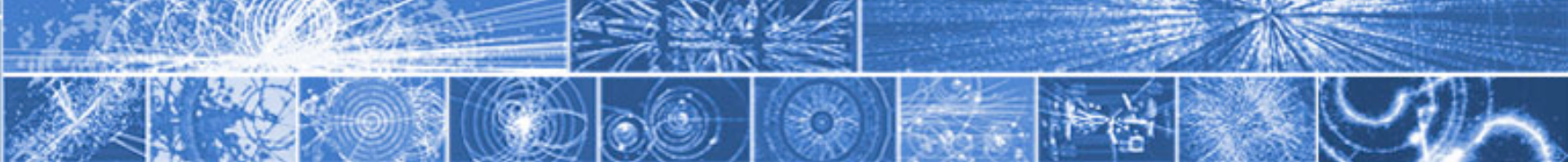
e^+ , Missing E_T , jet #4 from top
jets 1,2,3 from top (2&3 from W)



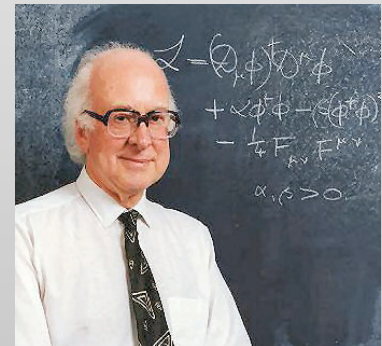


Il bosone di Higgs

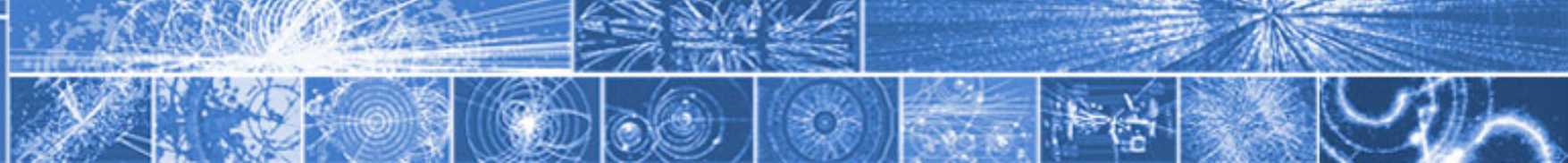




Il bosone di Higgs

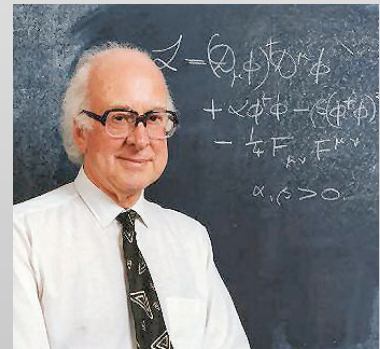


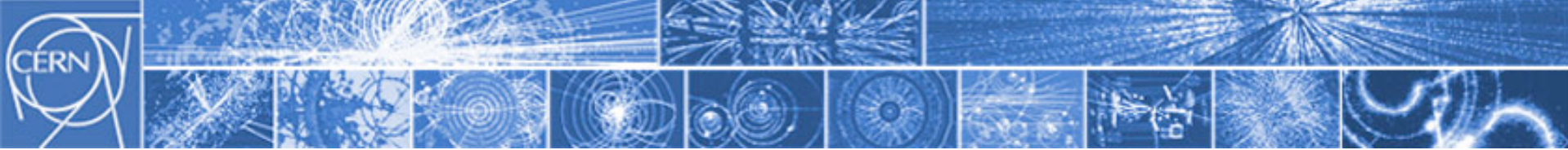
$$\begin{aligned} \mathcal{L} = & \bar{\psi}_i \gamma^\mu \partial_\mu \psi_i \\ & + \lambda \phi^\dagger \phi - \frac{1}{2} (\partial_\mu \phi)^\dagger (\partial^\mu \phi) \\ & - \frac{1}{4} F_{\mu\nu} F^{\mu\nu} \\ \alpha, \beta > 0 \end{aligned}$$



Il bosone di Higgs

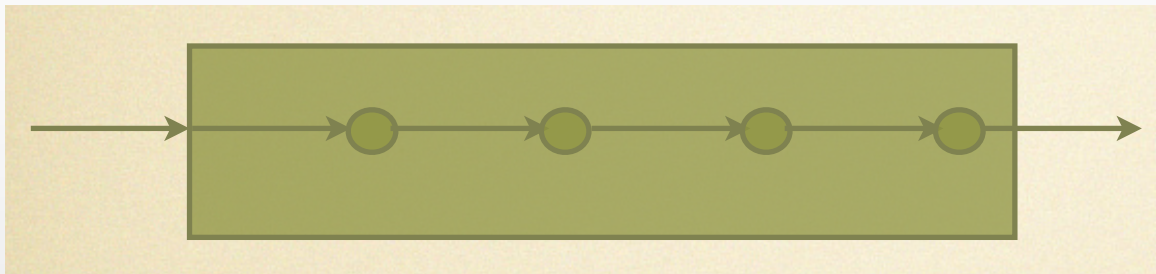
Englert-Brout-Higgs-Guralnik-Hagen-Kibble



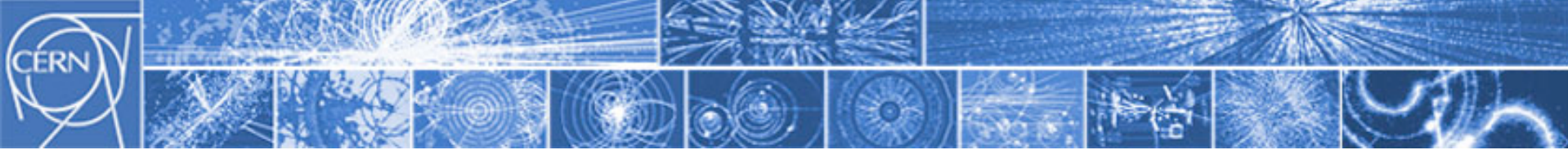


“perche' una certa particella ha massa m?”

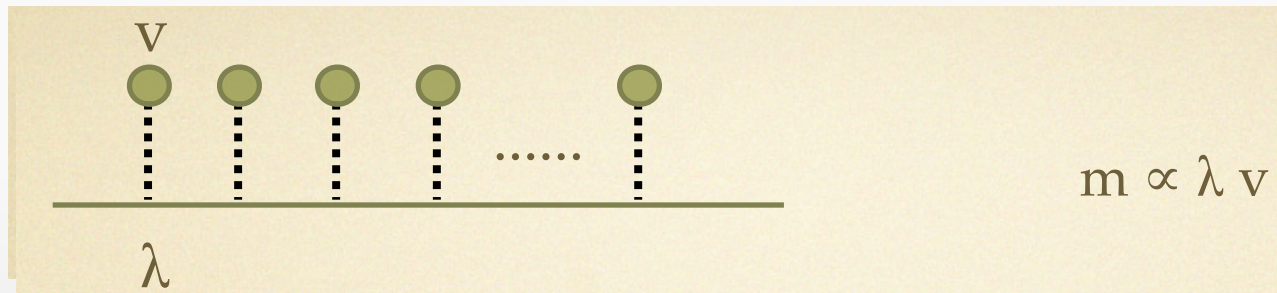
“perche' una certa particella ha massa m?”



Il campo di Higgs e' come un mezzo continuo in cui l'universo e' immerso. Le particelle, interagendo con esso, acquistano l'inerzia caratteristica delle particelle con massa.



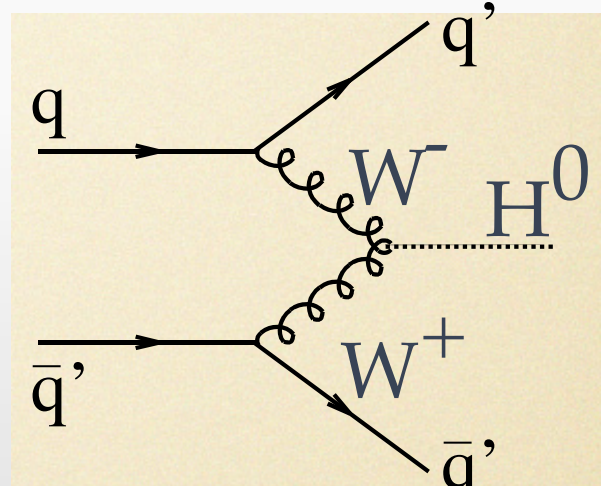
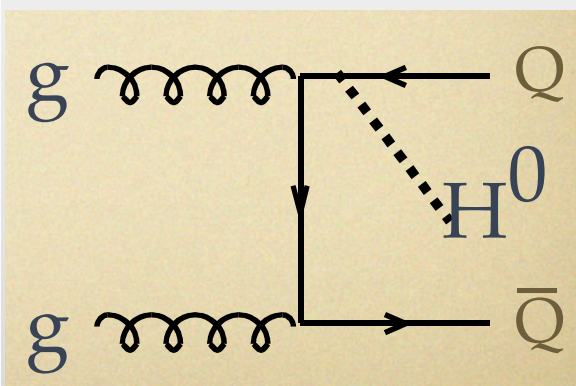
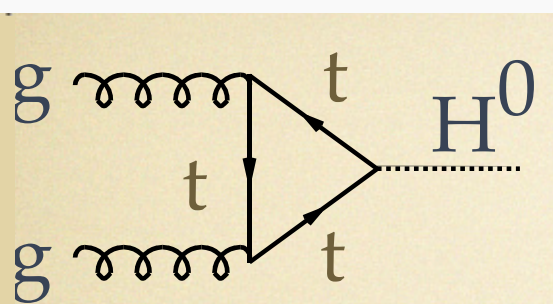
“perche’ una certa particella ha massa m?”



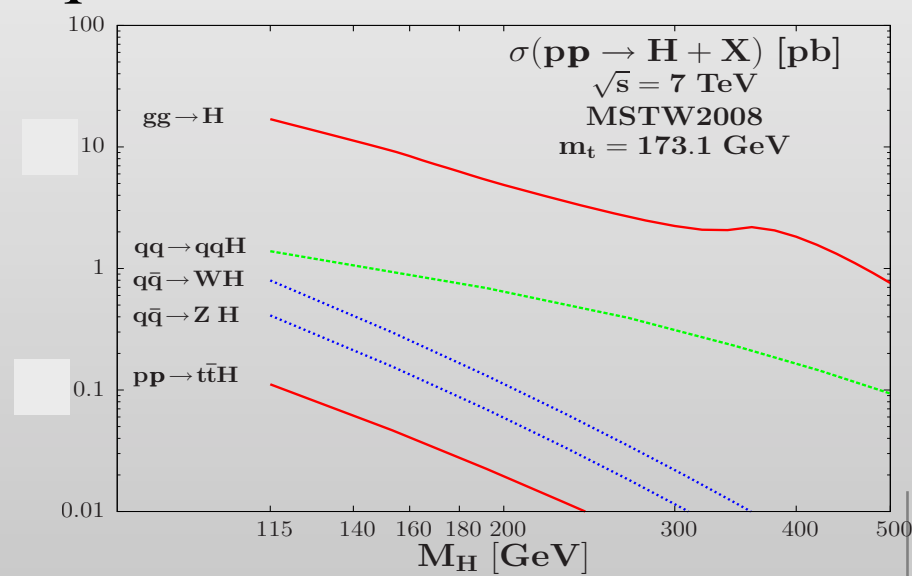
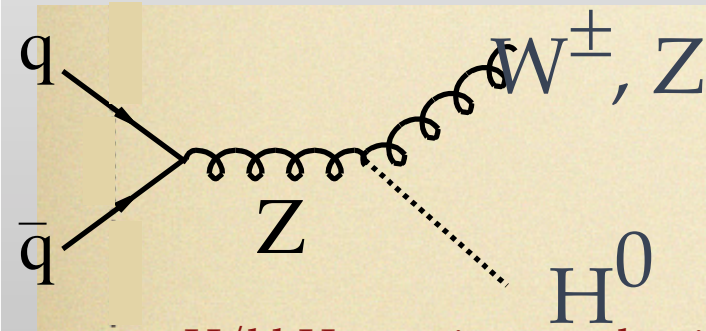
Ora la domanda “perche’ una certa particella ha massa m?”
e’ rimpiazzata da “perche’ una certa particella si accoppia
al campo di Higgs con intensita’ $\lambda \propto m / v$?”

Le ‘onde’ del campo di Higgs sono una particella:
la particella di Higgs (bosone).

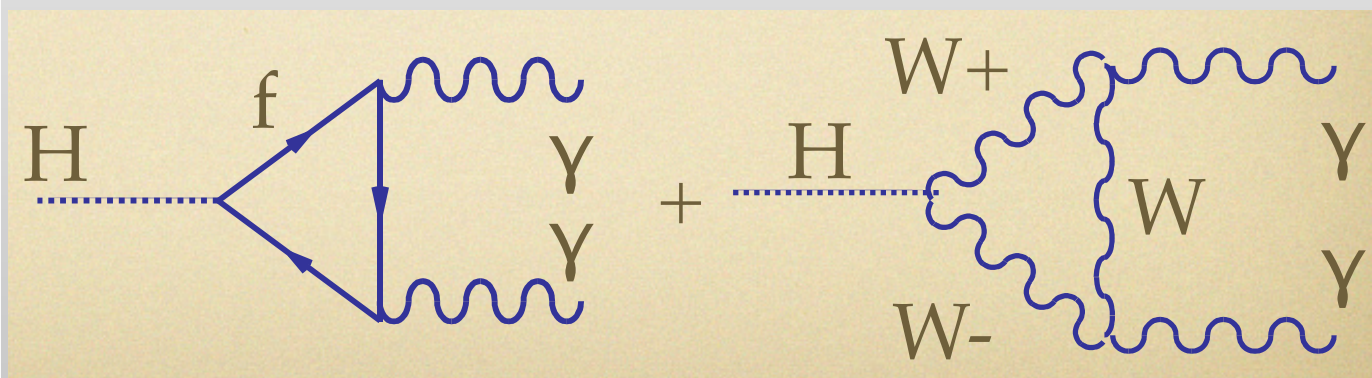
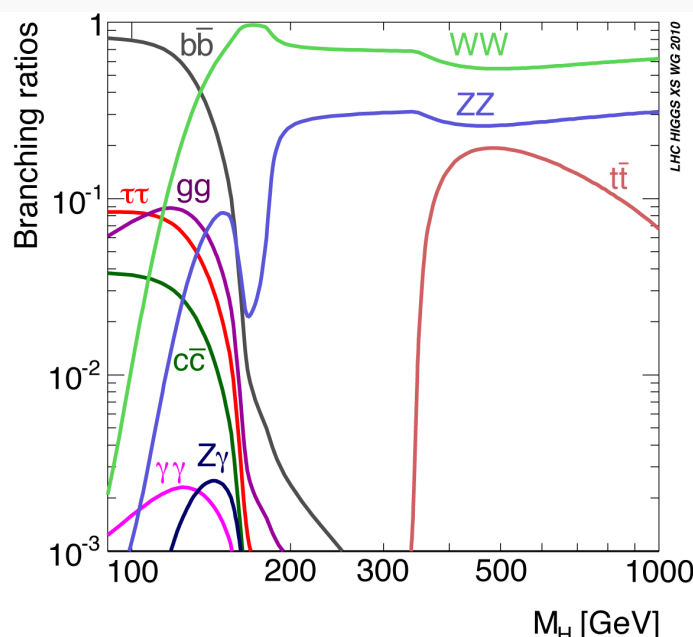
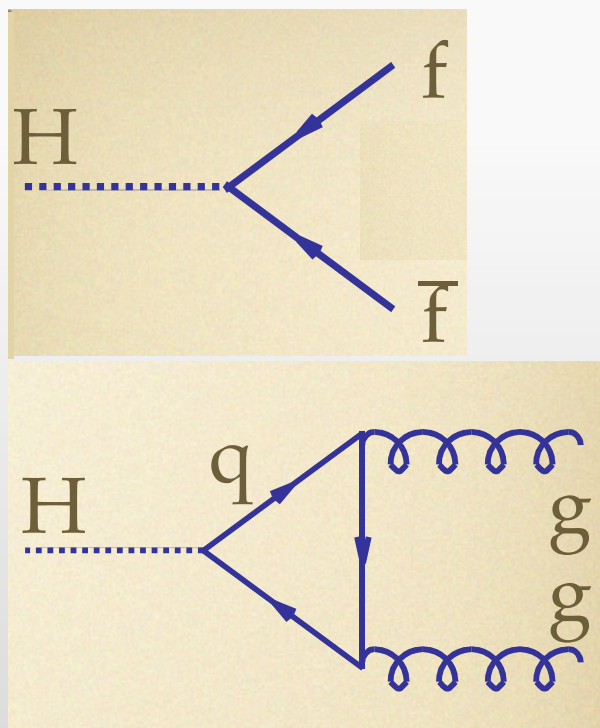
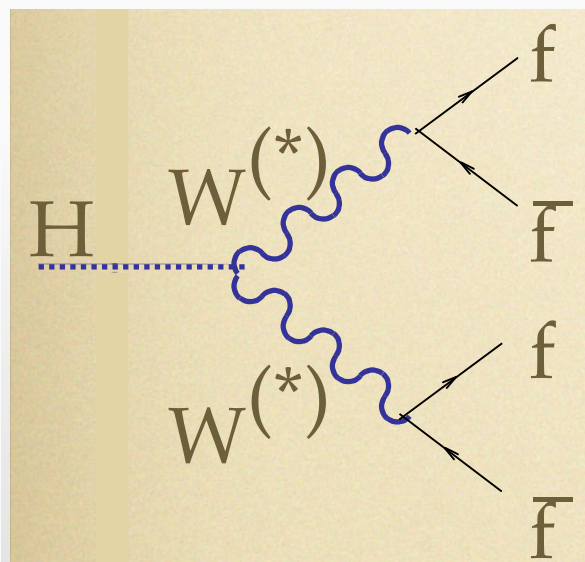
Produzione del bosone di Higgs a un collider



*Diagrammi
di Feynman*



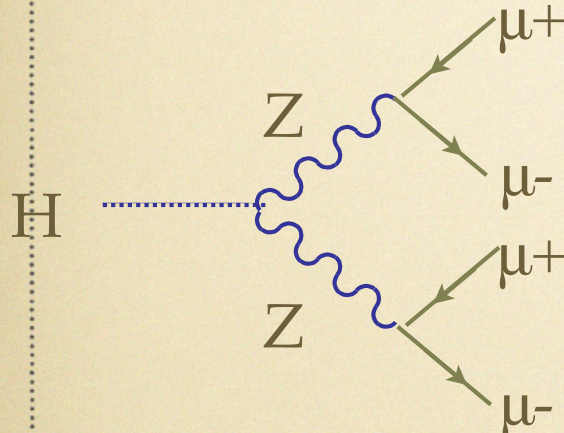
Decadimento del bosone di Higgs



How can we detect the Higgs?

Example: If $m(H) > 2 m(Z)$ $\Rightarrow H \rightarrow ZZ$

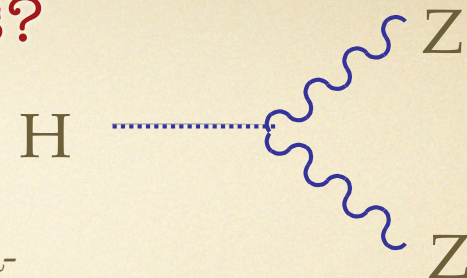
Each Z will decay. Assume for example $Z \rightarrow \mu^+ \mu^-$



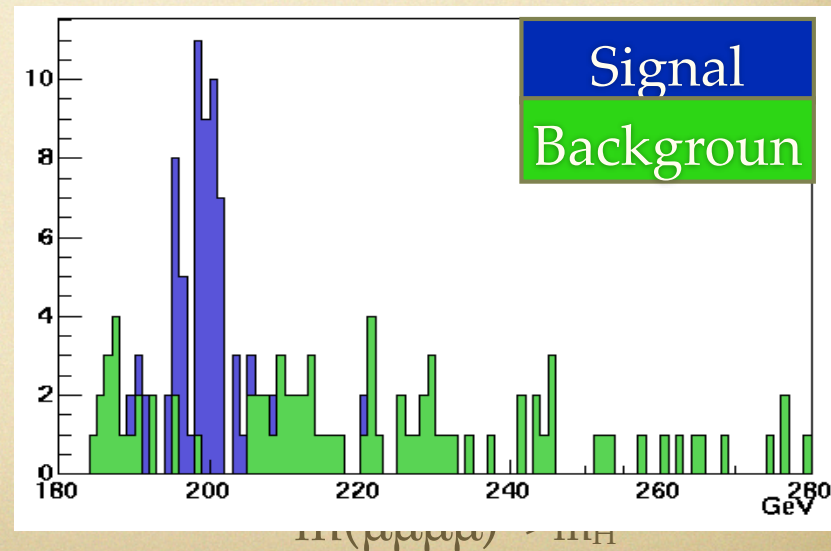
Search for events with 4 muons ($\mu^+_1 \mu^-_2 \mu^+_3 \mu^-_4$) subject to the condition that:

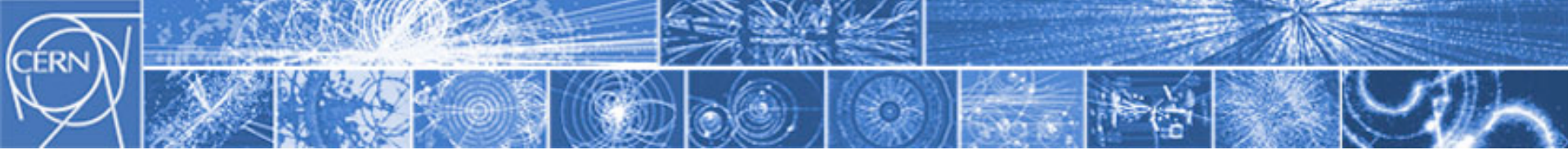
$$m(\mu^+_1 \mu^-_2) = m(\mu^+_3 \mu^-_4) = m(Z)$$

The invariant mass of the 4-muon system will then give $m(H)$

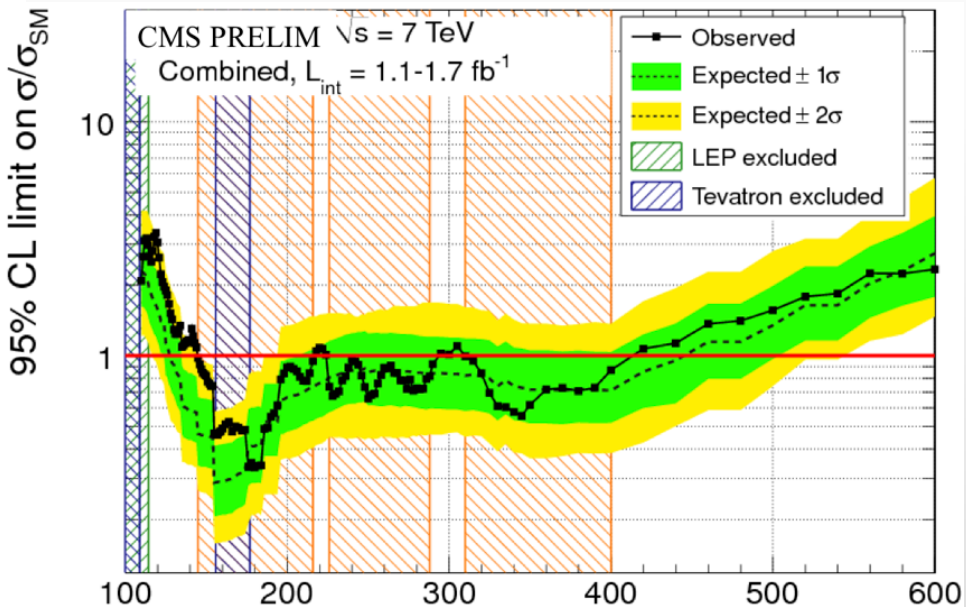
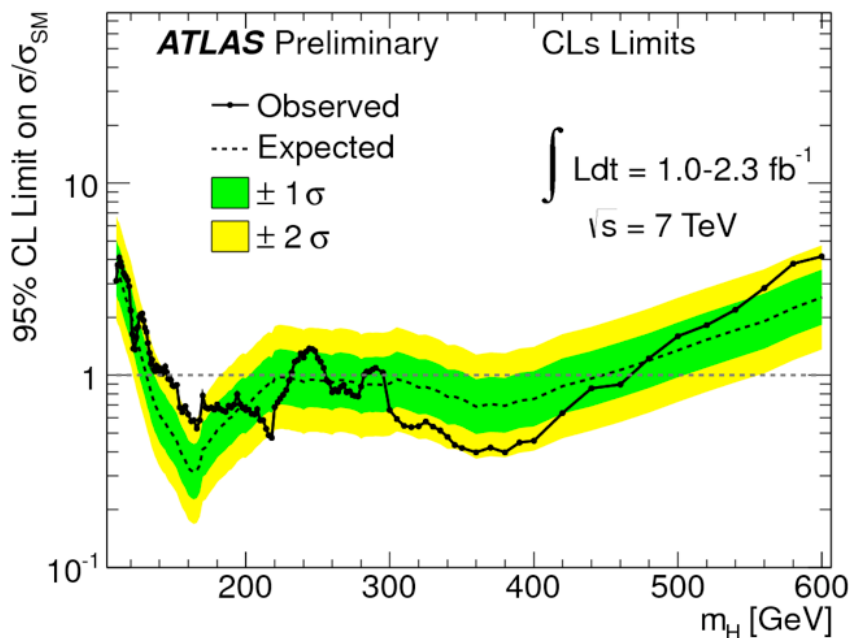


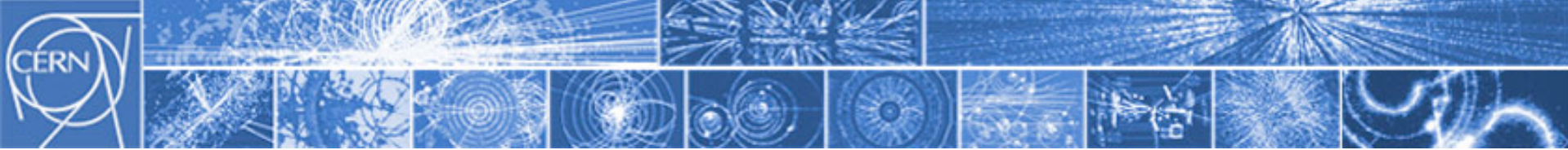
A computer simulation of how the signal will appear, for $m_H = 200$ GeV



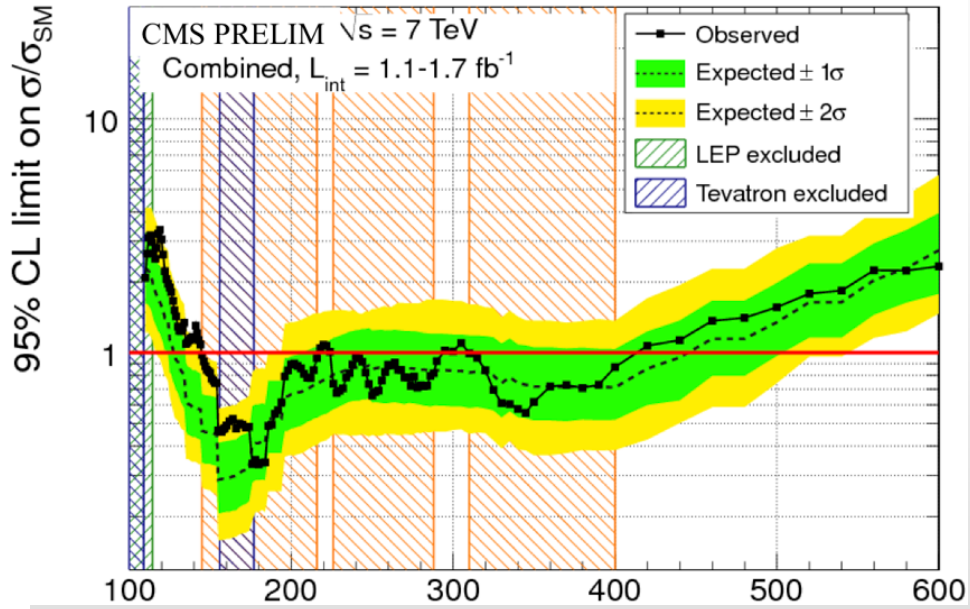
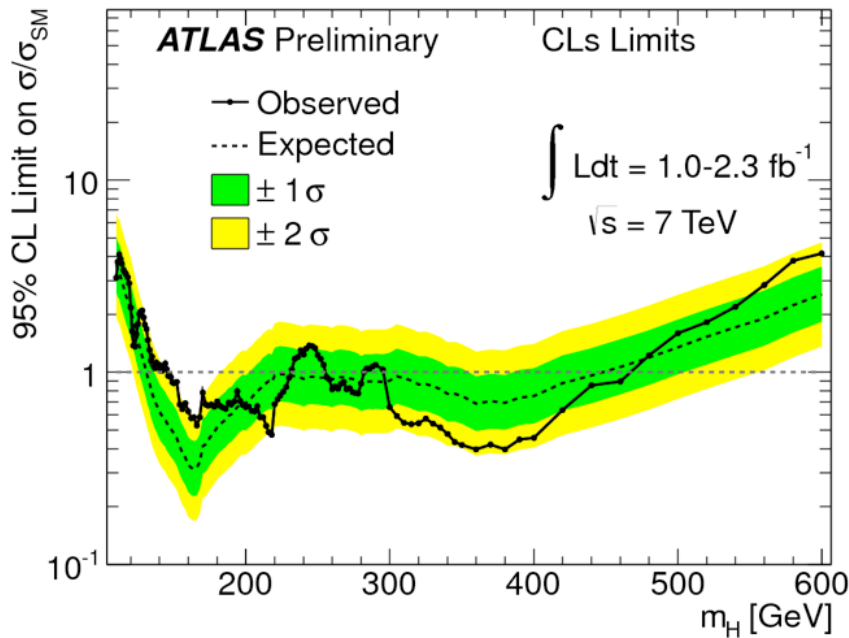


Status: *Lepton-Photon 2011 a Mumbai*



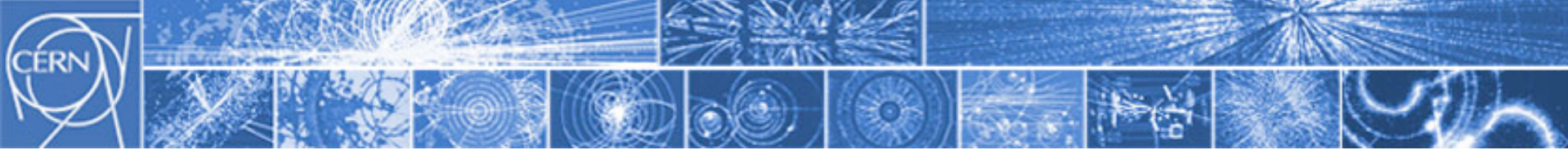


Status: *Lepton-Photon 2011 a Mumbai*



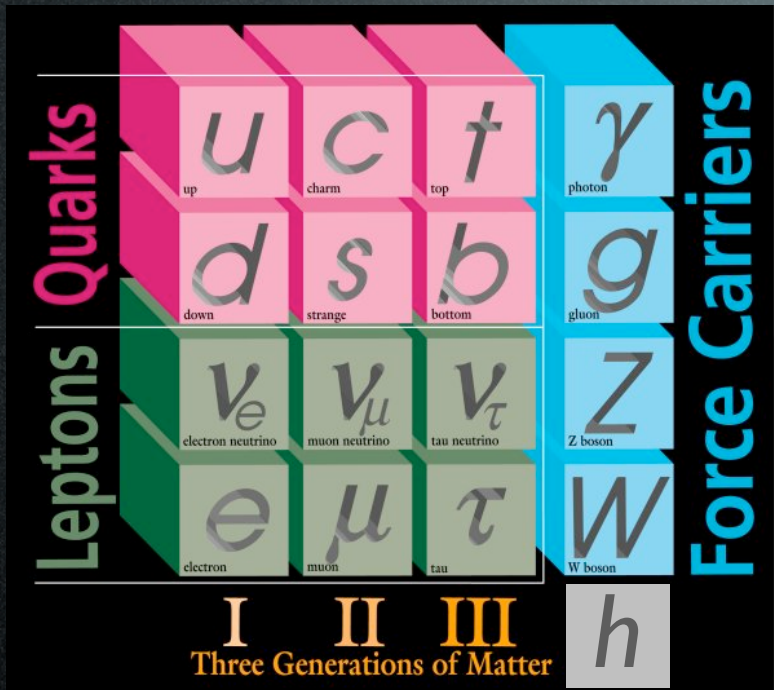
Insomma:

- Standard Model higgs **escluso** nel range $145 \text{ GeV} < m_h < 466 \text{ GeV}$ (e $m_h < 115 \text{ GeV}$)
- entro l'inizio del 2012 copriremo anche l'ultima finestra (115-145)

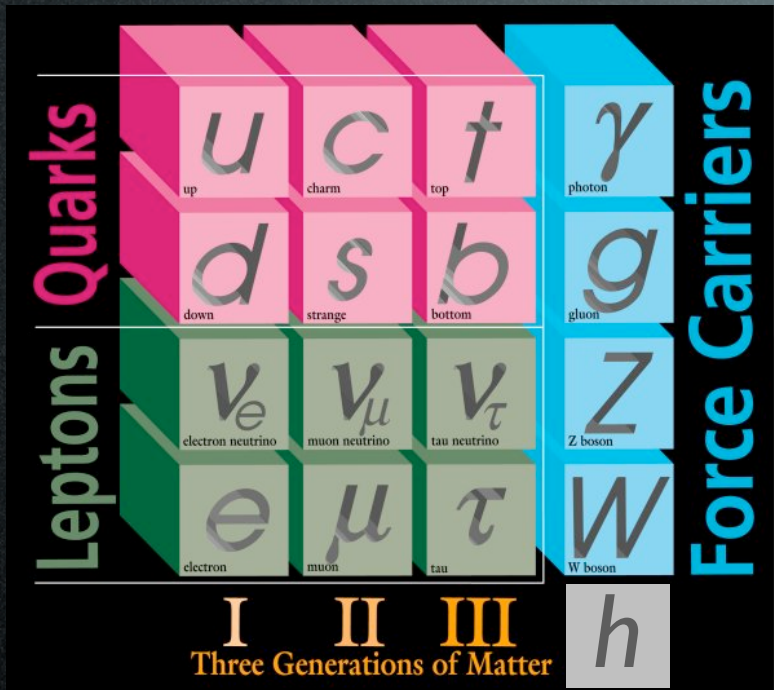


SuperSymmetry (SuSy)

SuSy in 2 minutes

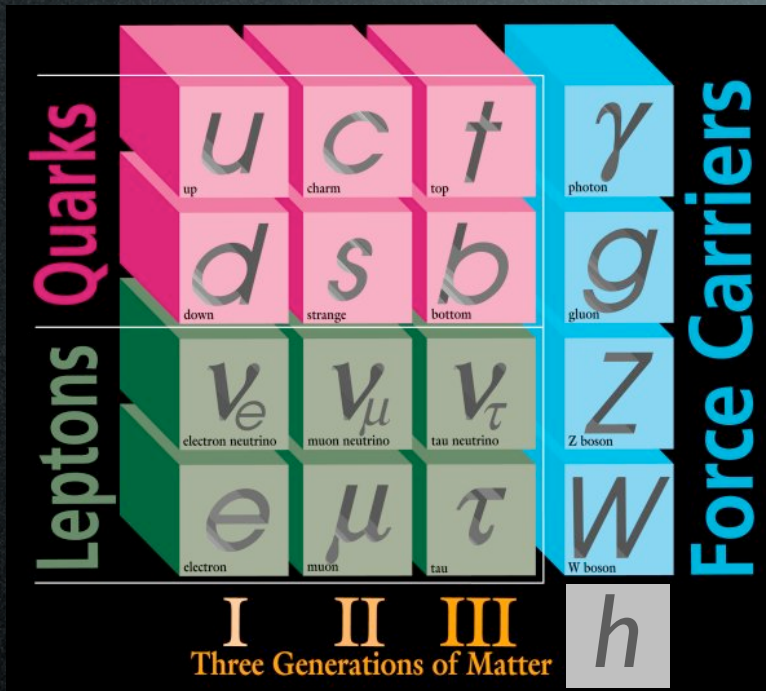


SuSy in 2 minutes



$$m_h \approx 150 \text{ GeV}$$

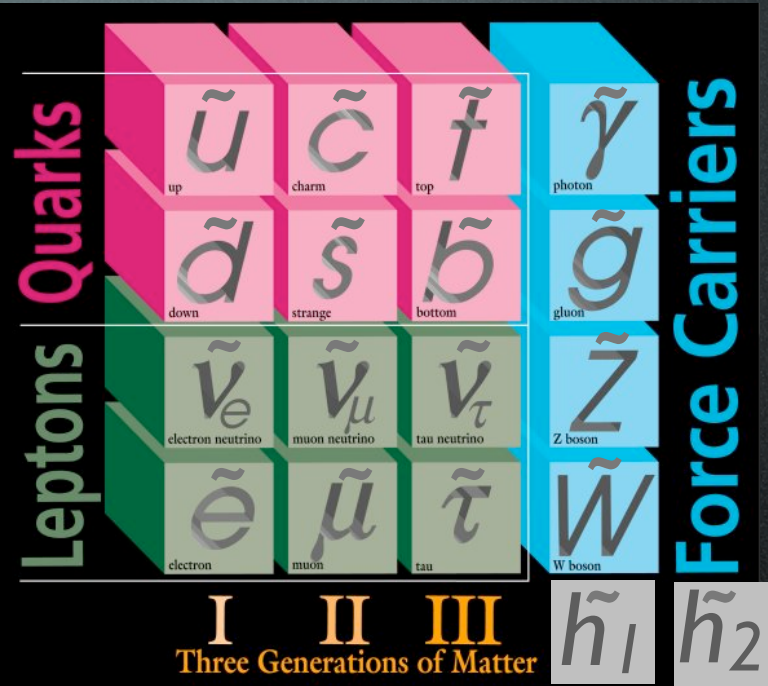
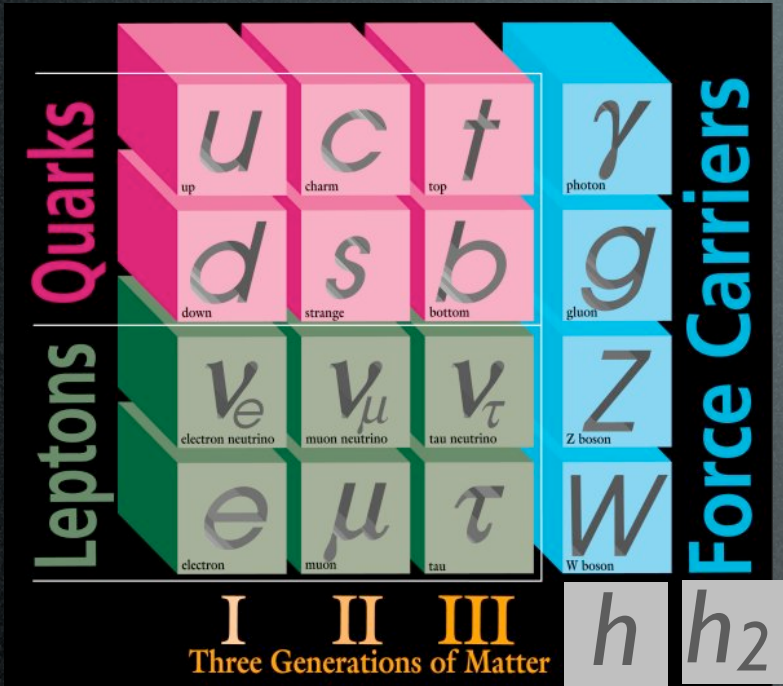
SuSy in 2 minutes



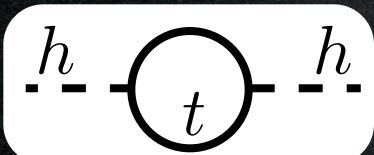
$$m_h \approx 150 \text{ GeV}$$

$$\begin{array}{c} h \\ \hbox{---} \\ t \\ \hbox{---} \end{array} \quad \Delta m_h \propto 10^{19} \text{ GeV}$$

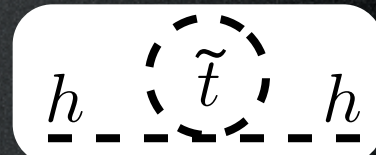
SuSy in 2 minutes



$$m_h \approx 150 \text{ GeV}$$

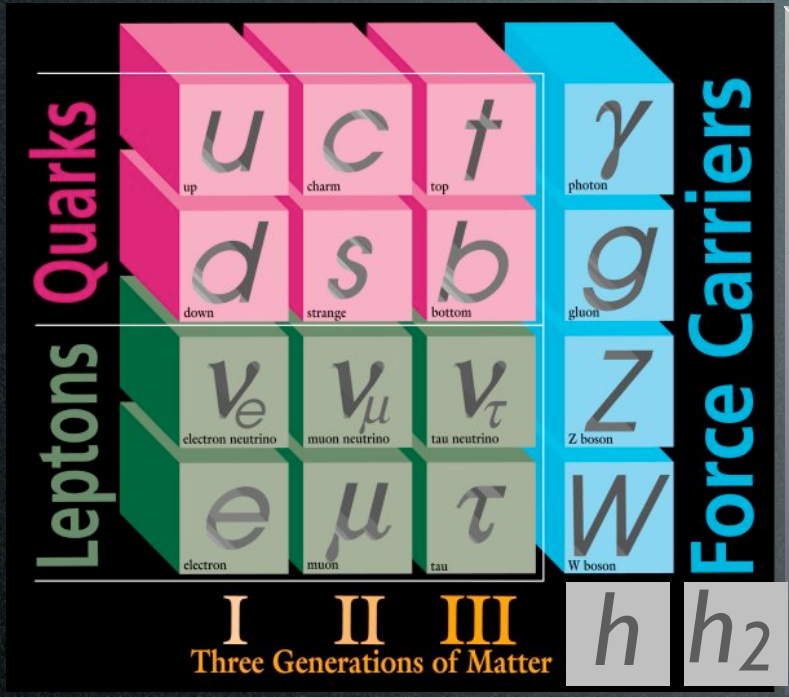


$$\Delta m_h \propto 10^{19} \text{ GeV}$$

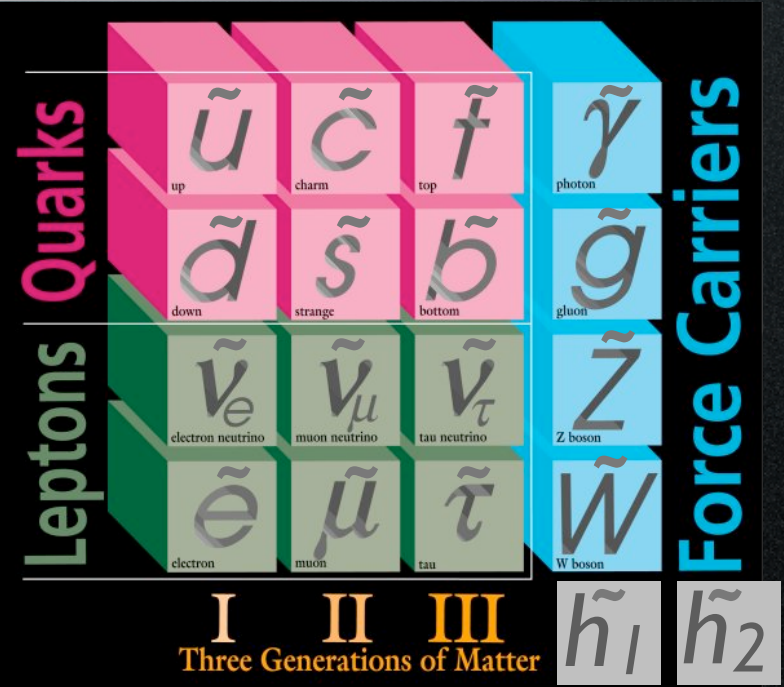


$$\Delta m_{\tilde{h}} \propto -10^{19} \text{ GeV}$$

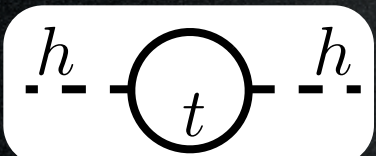
SuSy in 2 minutes



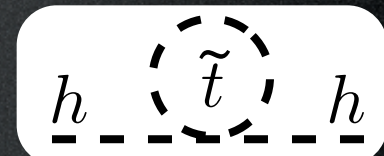
→ 200 GeV



$$m_h \approx 150 \text{ GeV}$$

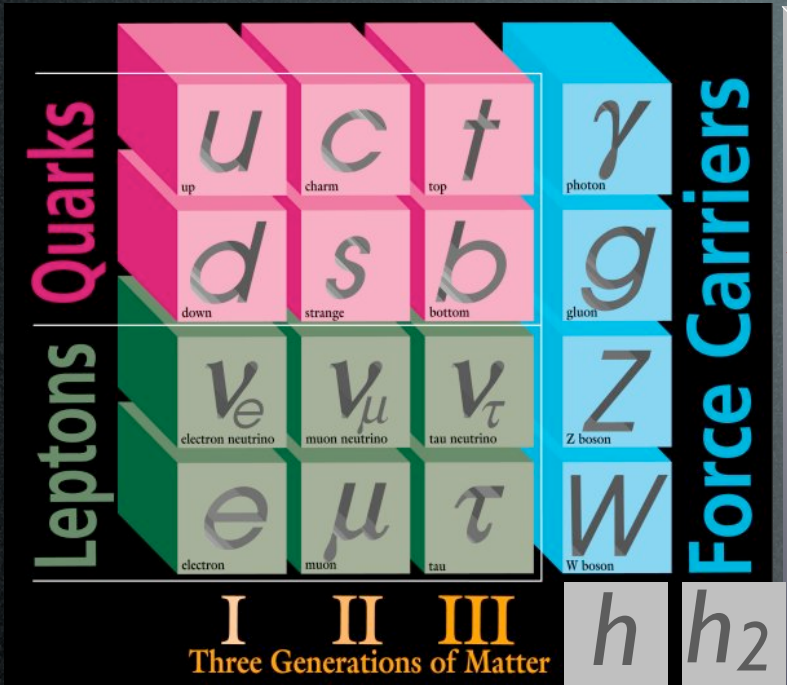


$$\Delta m_h \propto 10^{19} \text{ GeV}$$

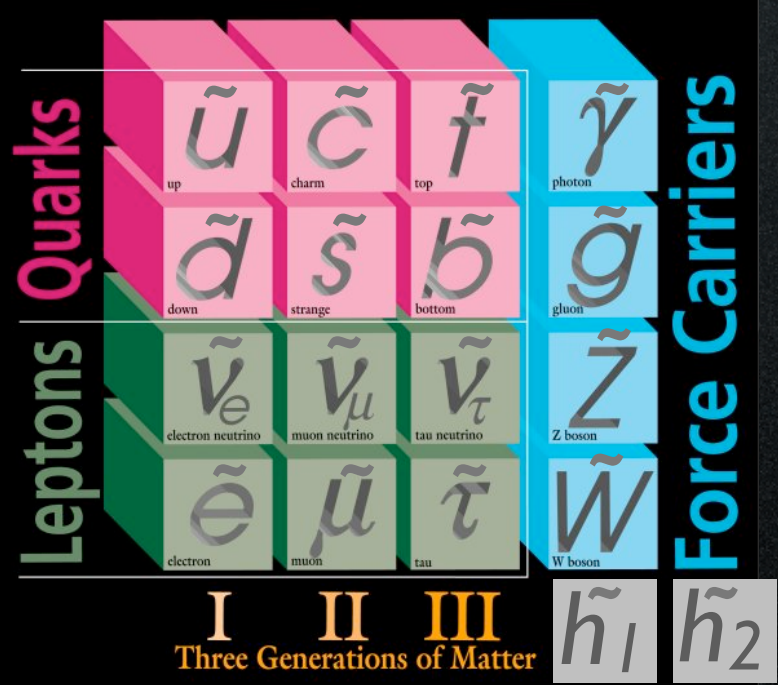


$$\Delta m_{\tilde{h}} \propto -10^{19} \text{ GeV}$$

SuSy in 2 minutes

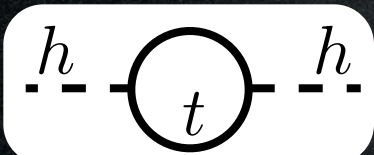


→ 200 GeV



$$R = +1$$

$$m_h \approx 150 \text{ GeV}$$



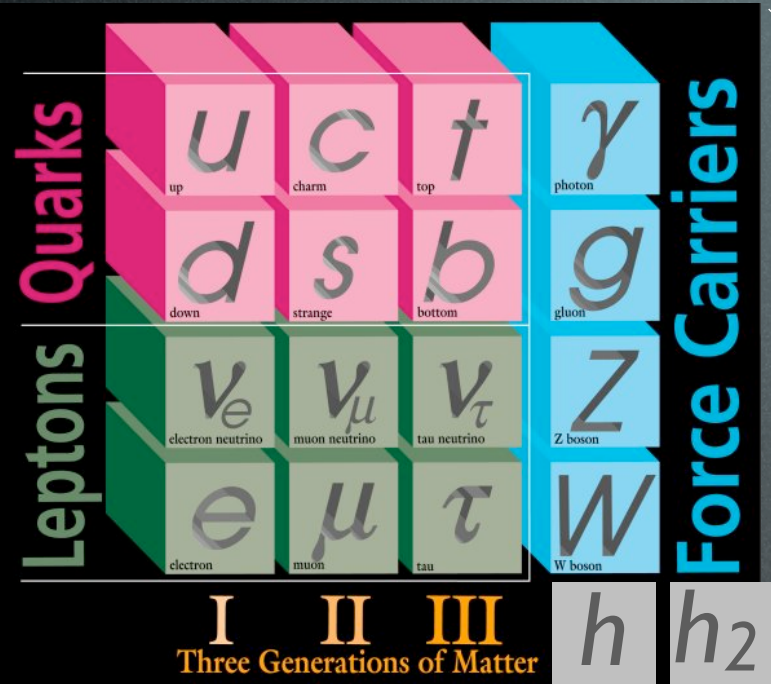
$$\Delta m_h \propto 10^{19} \text{ GeV}$$

$$R = -1$$



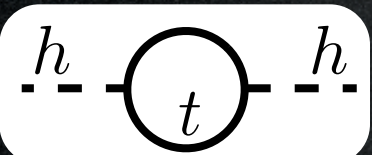
$$\Delta m_h \propto -10^{19} \text{ GeV}$$

SuSy in 2 minutes

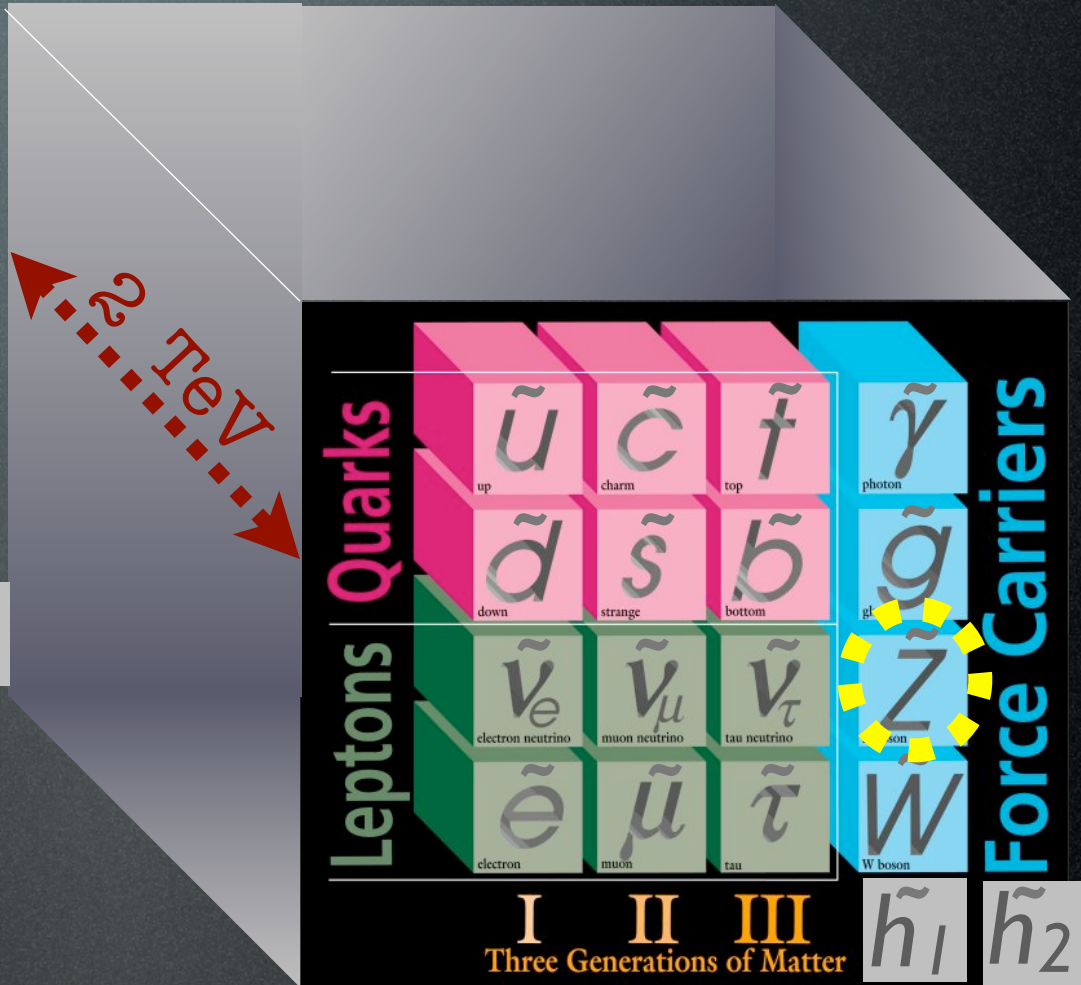


$$R = +1$$

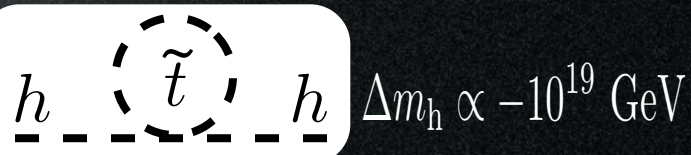
$$m_h \approx 150 \text{ GeV}$$



$$\Delta m_h \propto 10^{19} \text{ GeV}$$



$$R = -1$$

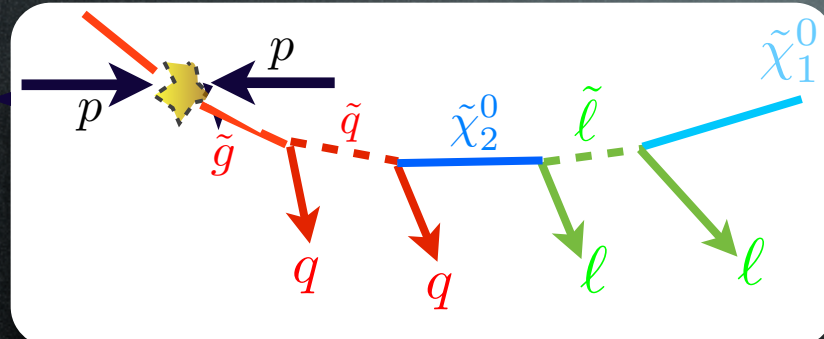


$$\Delta m_h \propto -10^{19} \text{ GeV}$$

Production at colliders

Search strategy 1:

look for decay subproducts of particles in the same theory

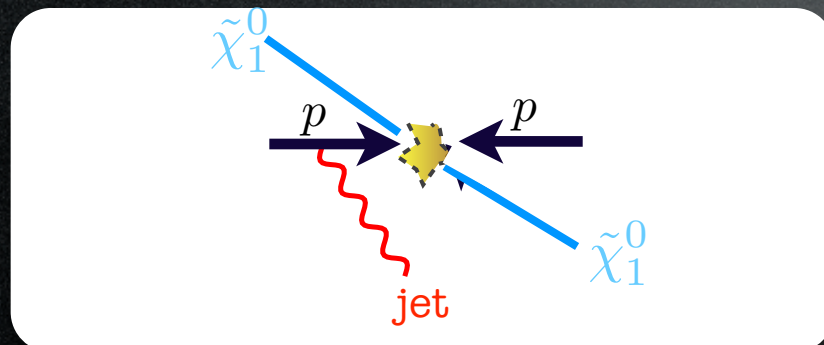


'trigger on 4j+4l+MET...'

huge literature

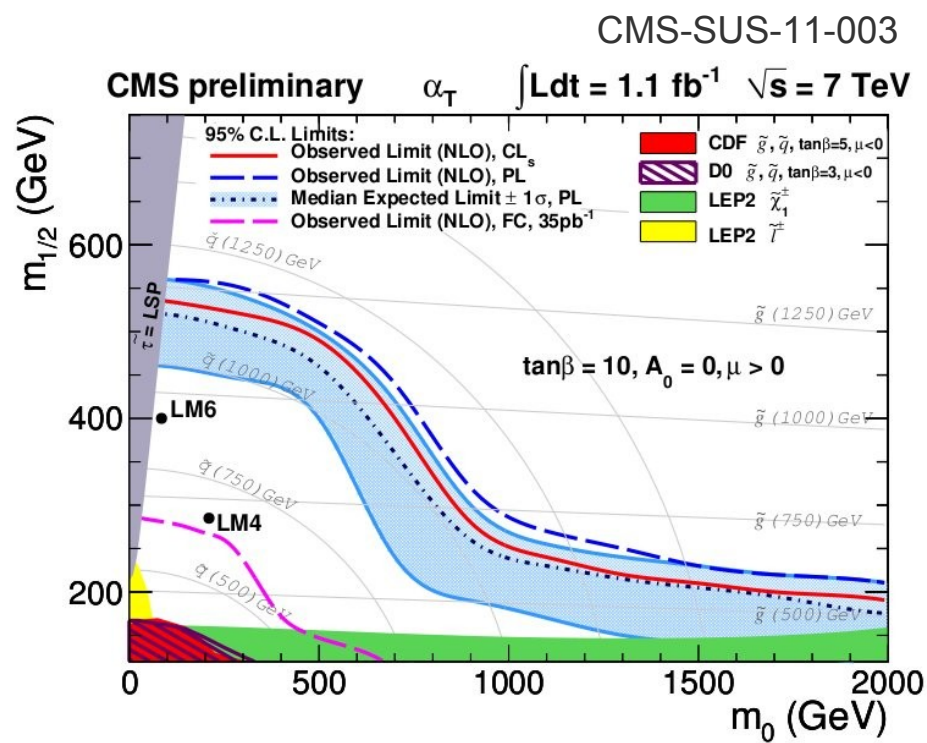
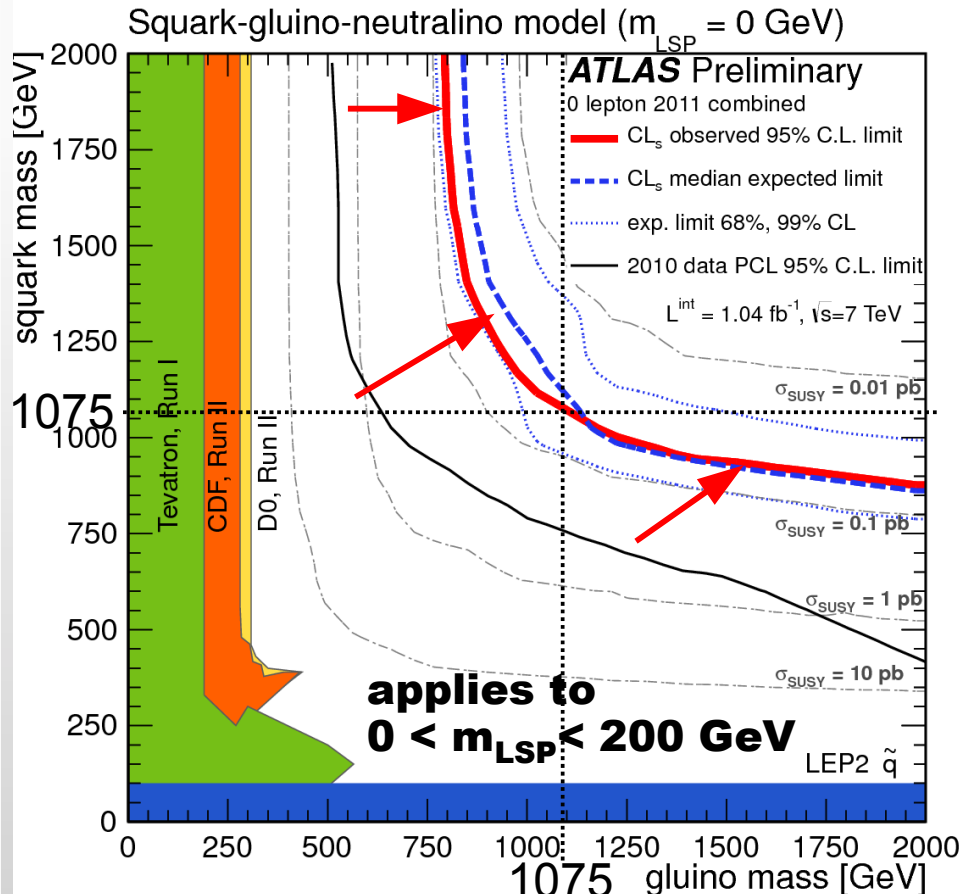
Search strategy 2: 'mono jets'

e.g. J.Goodman et al., 1008.1783

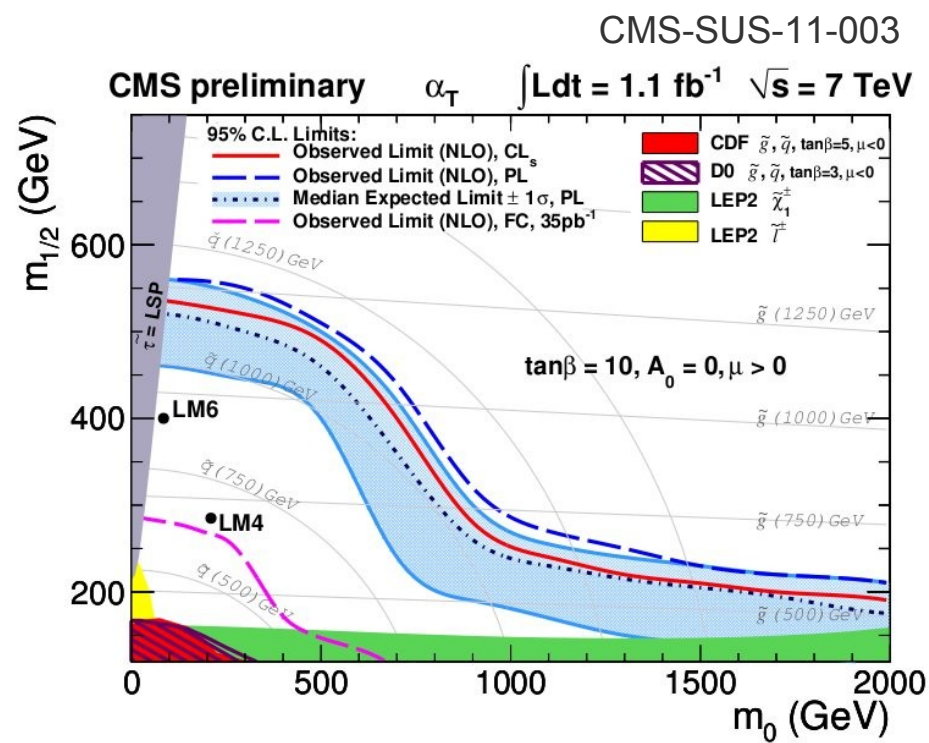
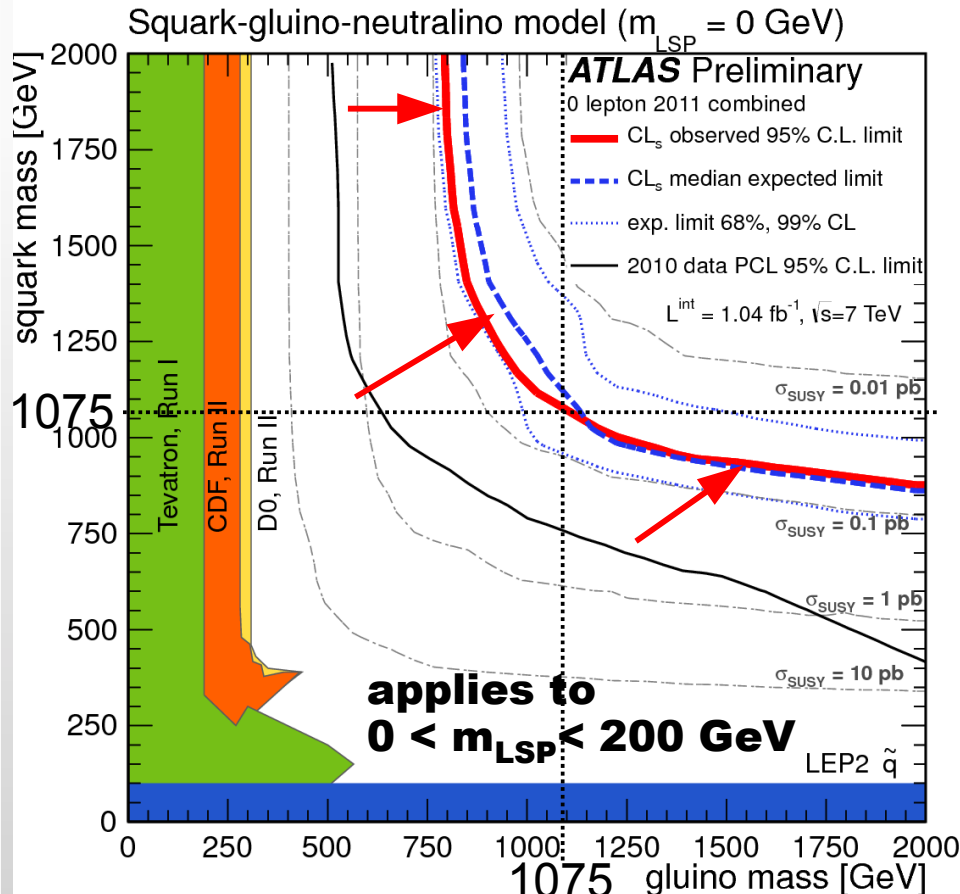


- 'new'
- more model independent

Status: Lepton-Photon 2011 a Mumbai

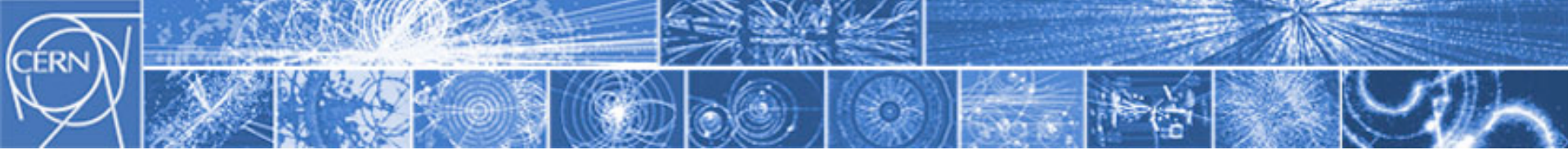


Status: Lepton-Photon 2011 a Mumbai



Insomma:

- particelle SuSy **escluse** fino circa 1 TeV
- o sister, where art thou?



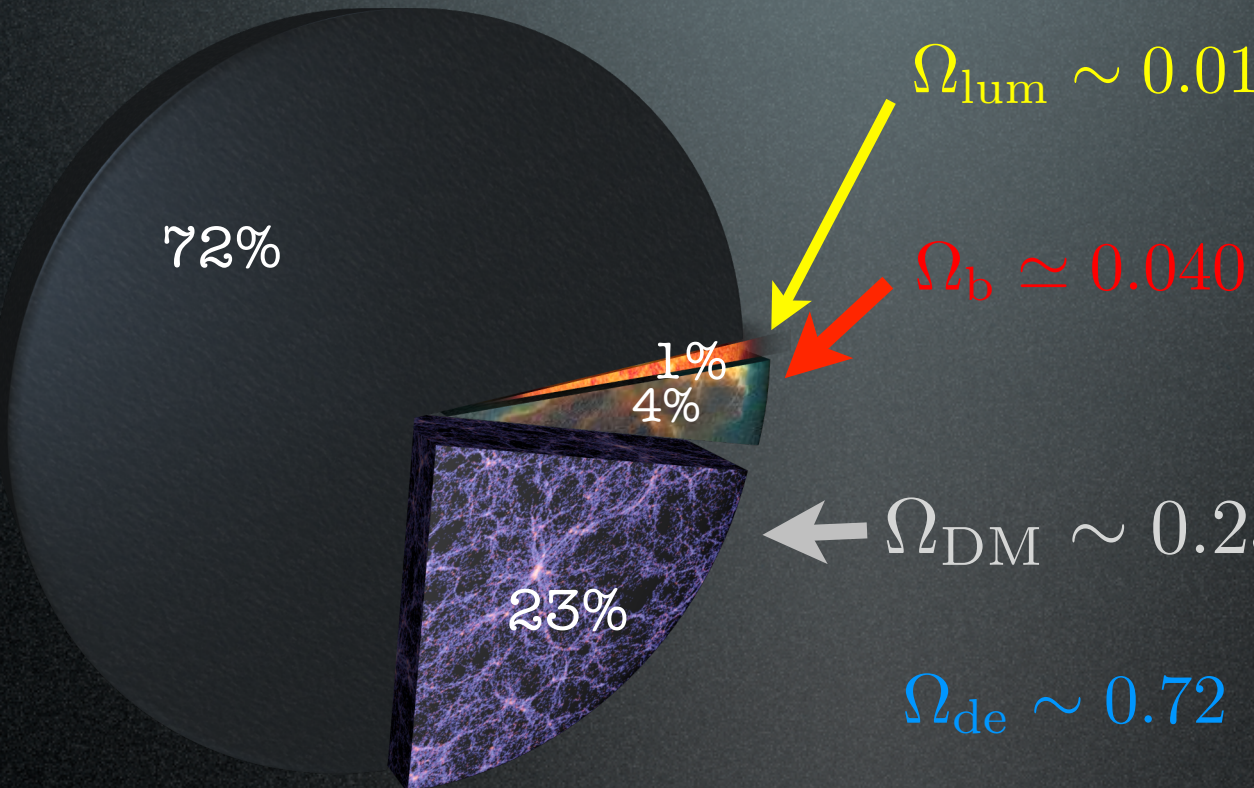
Materia Oscura

(Dark Matter)

What is the Universe
made of?

The cosmic inventory

Most of the Universe is Dark



$$\Omega_{de} \sim 0.72$$

$$\Omega_{lum} \sim 0.01$$

$$\Omega_b \approx 0.040 \pm 0.005$$

$$\Omega_{DM} \sim 0.23$$

$$\left(\Omega_x = \frac{\rho_x}{\rho_c}; \text{ CMB first peak} \Rightarrow \Omega_{tot} = 1 \text{ (flat)}; \text{ HST } h = 0.71 \pm 0.07 \right)$$

How do we know that
Dark Matter is out there?

The Evidence for DM

1) galaxy rotation curves

$$m \frac{v_c^2(r)}{r} = \frac{G_N m M(r)}{r^2}$$

'centrifugal' 'centripetal'

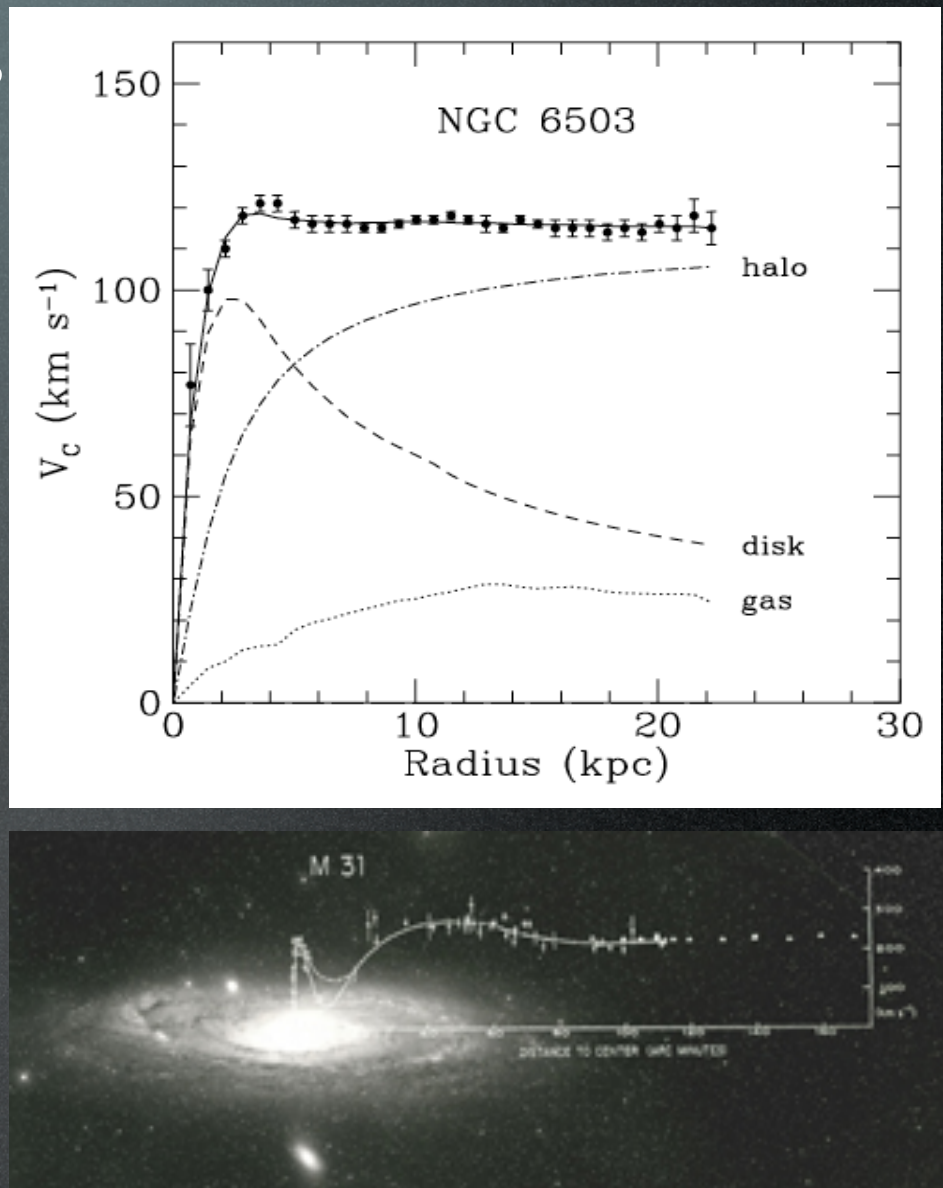
$$v_c(r) = \sqrt{\frac{G_N M(r)}{r}}$$

with $M(r) = 4\pi \int \rho(r) r^2 dr$

$$v_c(r) \sim \text{const} \Rightarrow \rho_M(r) \sim \frac{1}{r^2}$$



$$\Omega_M \gtrsim 0.1$$



The Evidence for DM

1) galaxy rotation curves

$$m \frac{v_c^2(r)}{r} = \frac{G_N m M(r)}{r^2}$$

'centrifugal' 'centripetal'

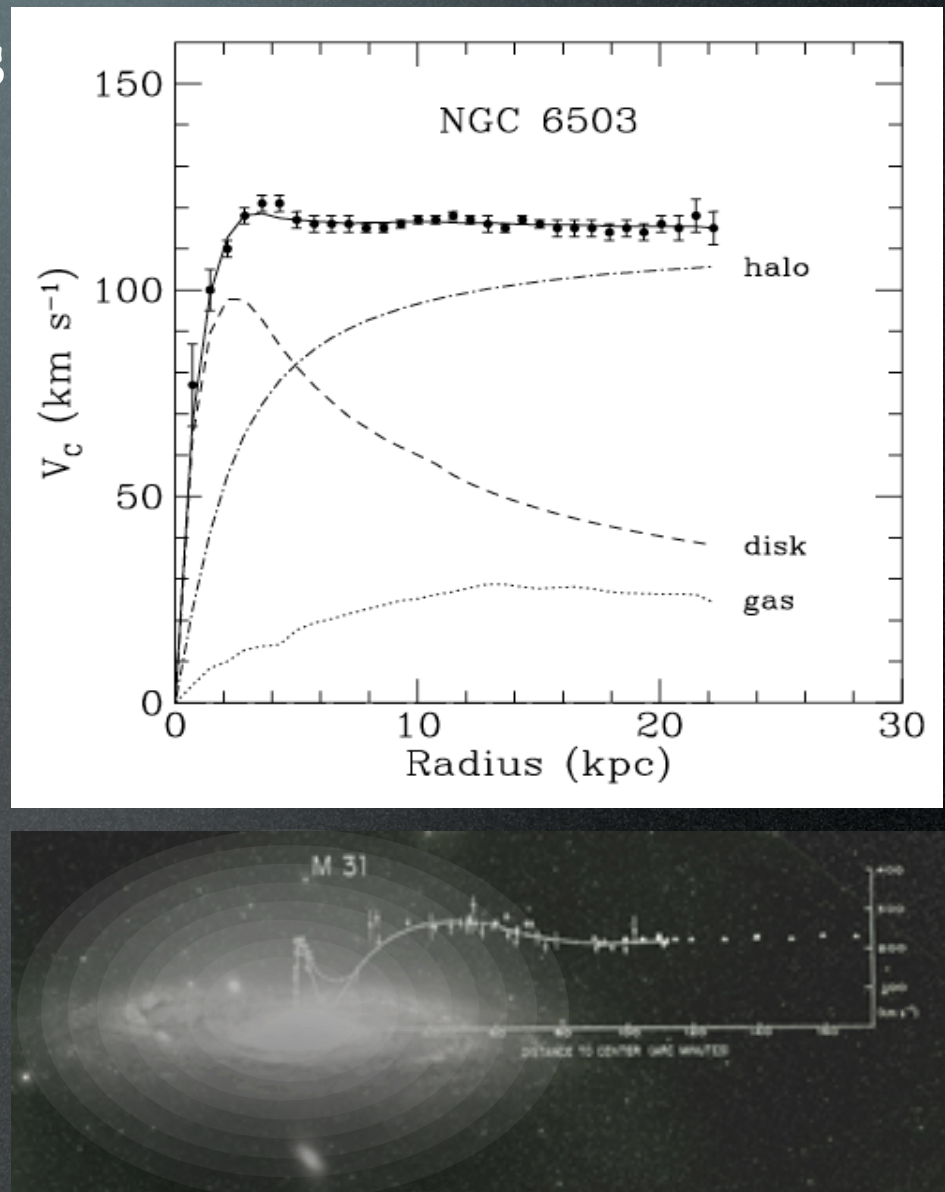
$$v_c(r) = \sqrt{\frac{G_N M(r)}{r}}$$

with $M(r) = 4\pi \int \rho(r) r^2 dr$

$$v_c(r) \sim \text{const} \Rightarrow \rho_M(r) \sim \frac{1}{r^2}$$

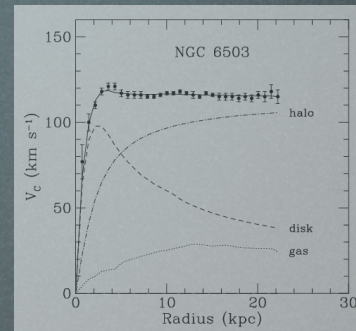


$$\Omega_M \gtrsim 0.1$$



The Evidence for DM

1) galaxy rotation curves



$$\Omega_M \gtrsim 0.1$$

2) clusters of galaxies

- “rotation curves”
- gravitation lensing



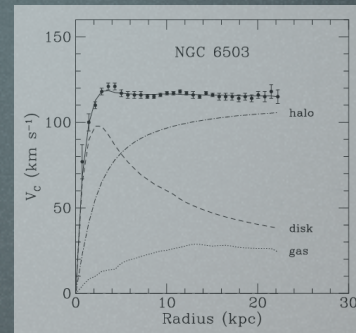
$$\Omega_M \sim 0.2 \div 0.4$$



“bullet cluster” - NASA
[astro-ph/0608247](https://arxiv.org/abs/astro-ph/0608247)
[further developments]

The Evidence for DM

1) galaxy rotation curves



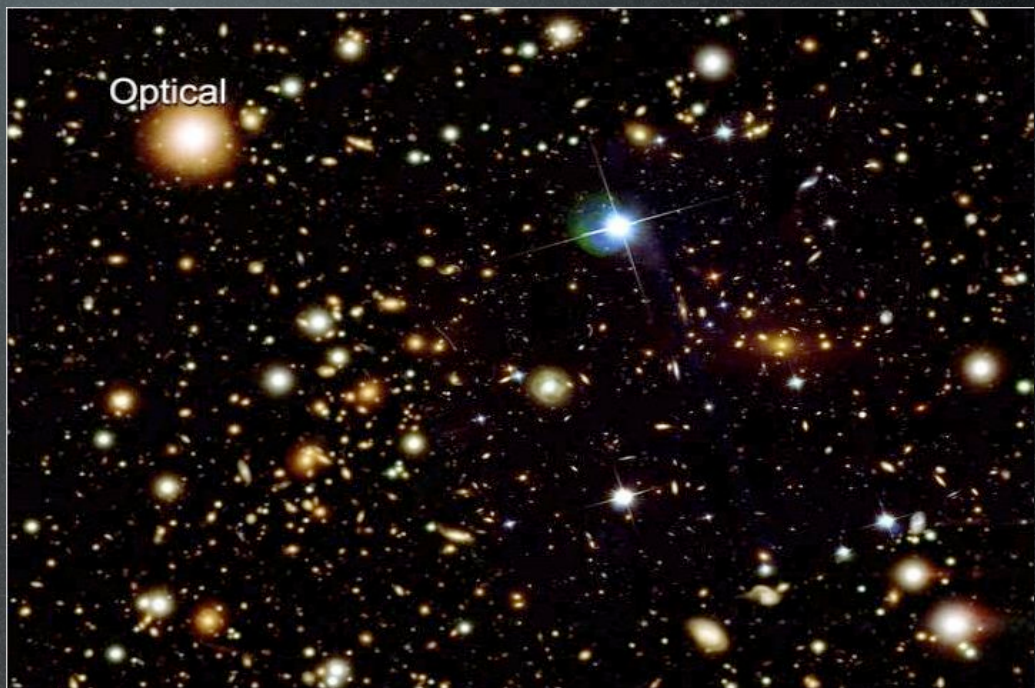
$$\Omega_M \gtrsim 0.1$$

2) clusters of galaxies

- “rotation curves”
- gravitation lensing



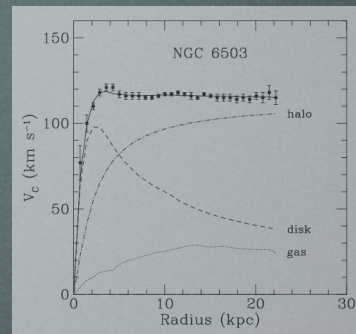
$$\Omega_M \sim 0.2 \div 0.4$$



“bullet cluster” - NASA
[astro-ph/0608247](https://arxiv.org/abs/astro-ph/0608247)
[further developments]

The Evidence for DM

1) galaxy rotation curves



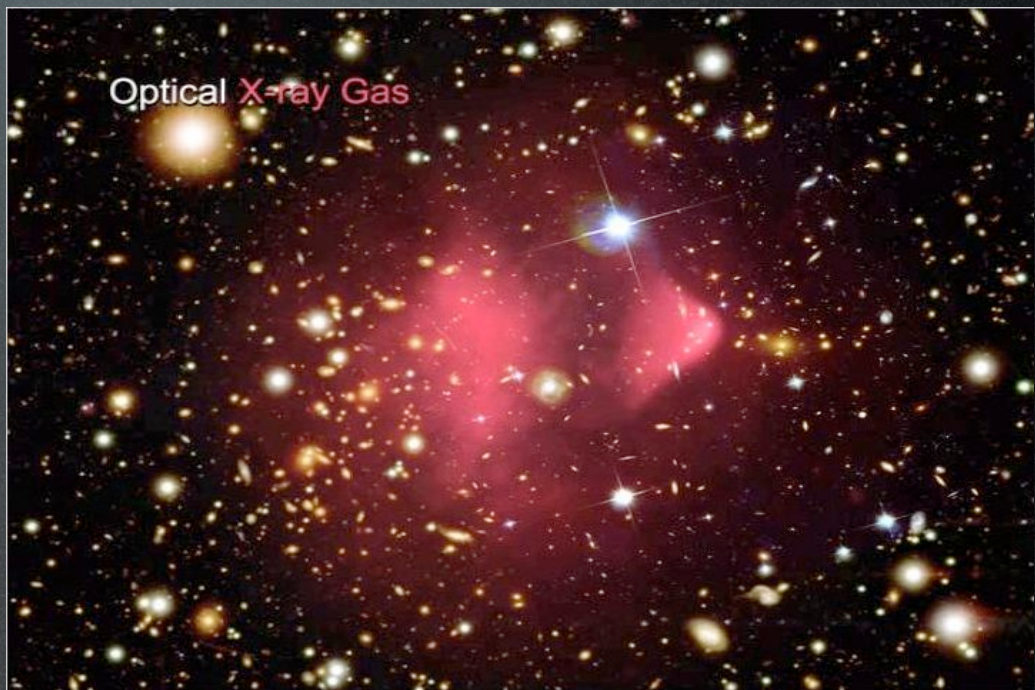
$$\Omega_M \gtrsim 0.1$$

2) clusters of galaxies

- “rotation curves”
- gravitation lensing



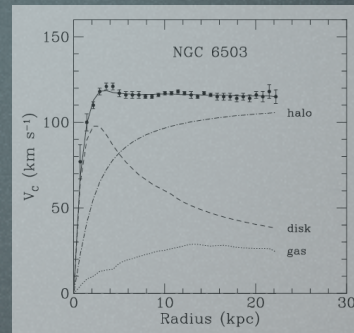
$$\Omega_M \sim 0.2 \div 0.4$$



“bullet cluster” - NASA
astro-ph/0608247
[further developments]

The Evidence for DM

1) galaxy rotation curves



$$\Omega_M \gtrsim 0.1$$

2) clusters of galaxies

- “rotation curves”
- gravitation lensing



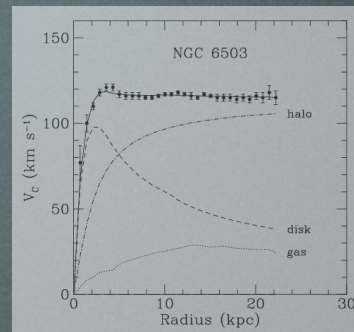
$$\Omega_M \sim 0.2 \div 0.4$$



“bullet cluster” - NASA
astro-ph/0608247
[further developments]

The Evidence for DM

1) galaxy rotation curves



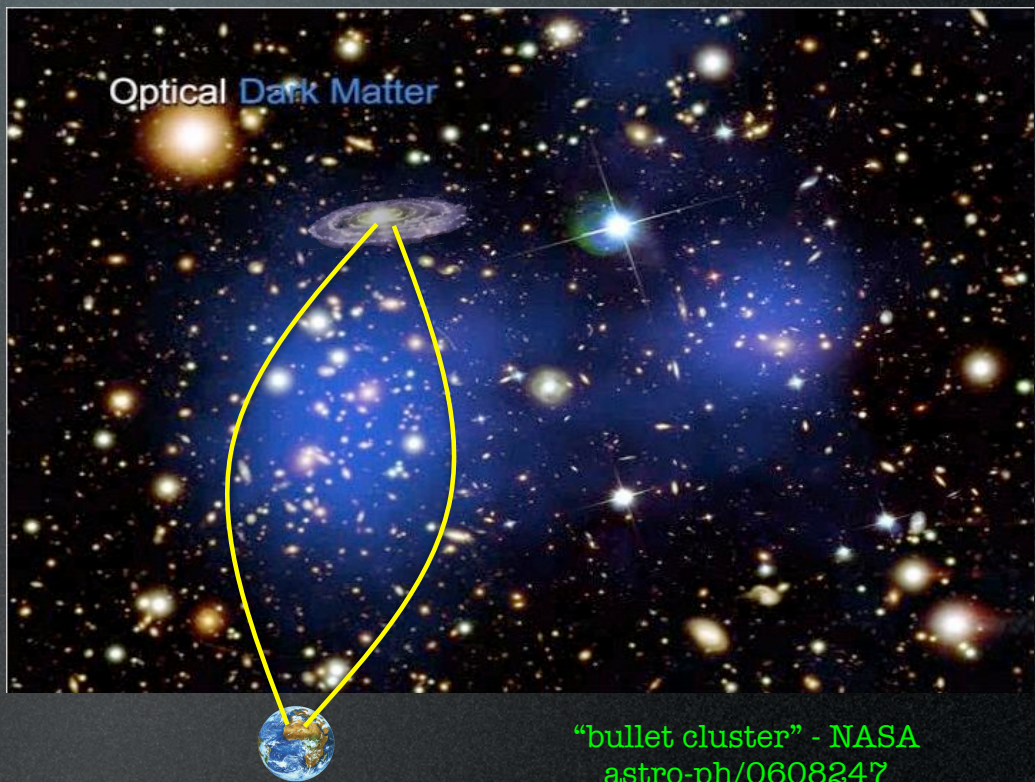
$$\Omega_M \gtrsim 0.1$$

2) clusters of galaxies

- “rotation curves”
- gravitation lensing



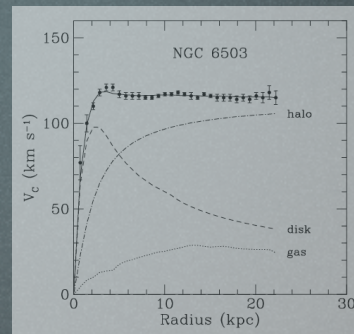
$$\Omega_M \sim 0.2 \div 0.4$$



“bullet cluster” - NASA
astro-ph/0608247
[further developments]

The Evidence for DM

1) galaxy rotation curves



$$\Omega_M \gtrsim 0.1$$

2) clusters of galaxies

- “rotation curves”
- gravitation lensing



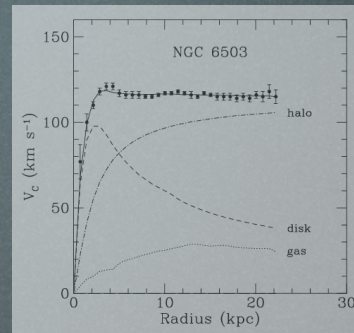
$$\Omega_M \sim 0.2 \div 0.4$$



“bullet cluster” - NASA
astro-ph/0608247
[further developments]

The Evidence for DM

1) galaxy rotation curves



$$\Omega_M \gtrsim 0.1$$

2) clusters of galaxies

- “rotation curves”
- gravitation lensing



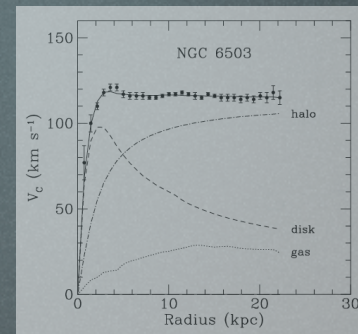
$$\Omega_M \sim 0.2 \div 0.4$$



“bullet cluster” - NASA
astro-ph/0608247
[further developments]

The Evidence for DM

1) galaxy rotation curves



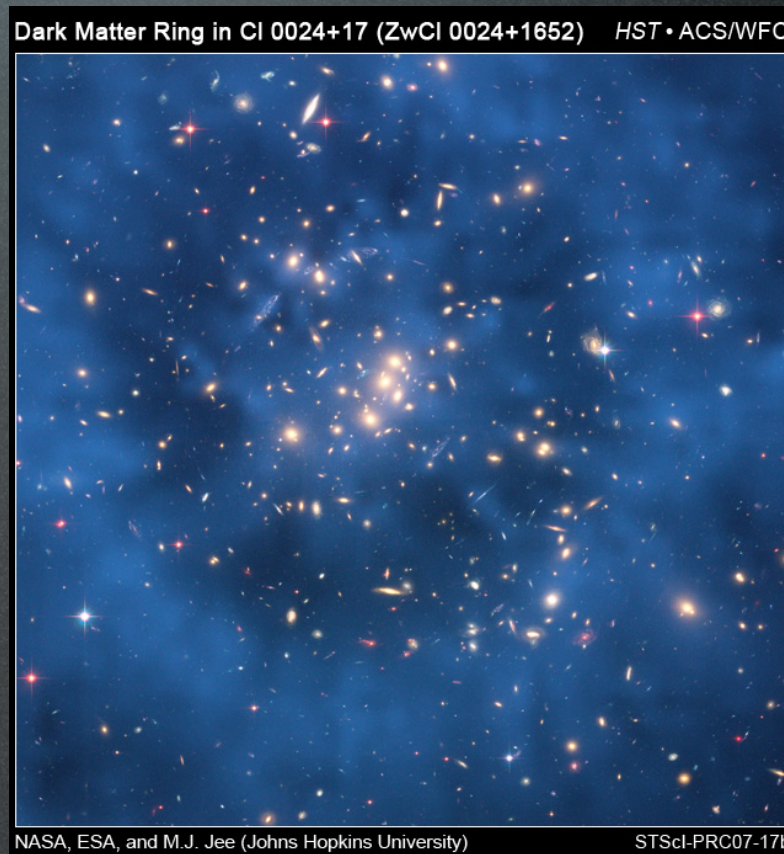
$$\Omega_M \gtrsim 0.1$$

2) clusters of galaxies

- “rotation curves”
- gravitation lensing

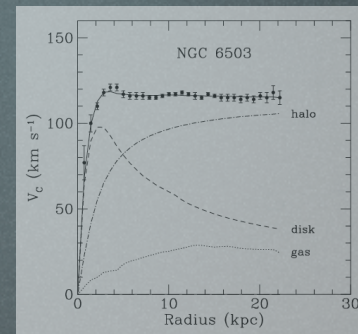


$$\Omega_M \sim 0.2 \div 0.4$$



The Evidence for DM

1) galaxy rotation curves



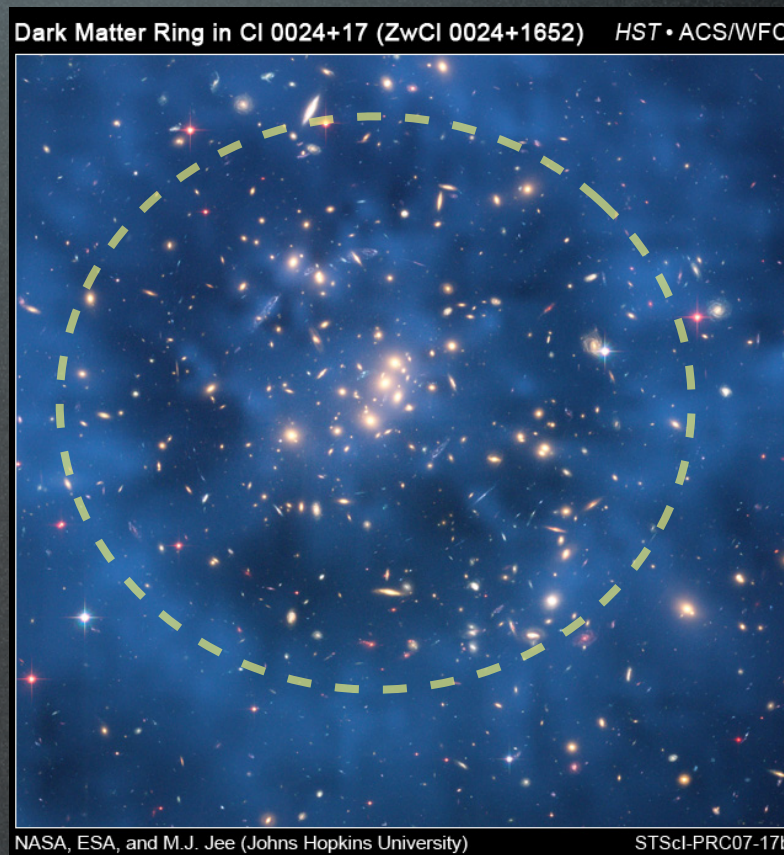
$$\Omega_M \gtrsim 0.1$$

2) clusters of galaxies

- “rotation curves”
- gravitation lensing

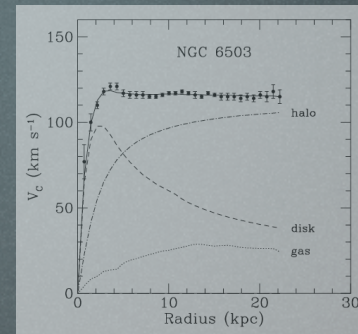


$$\Omega_M \sim 0.2 \div 0.4$$



The Evidence for DM

1) galaxy rotation curves



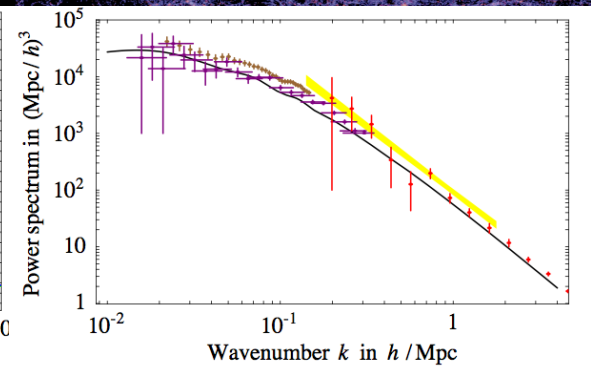
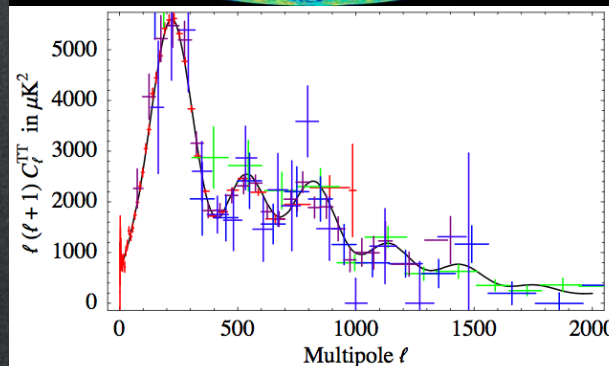
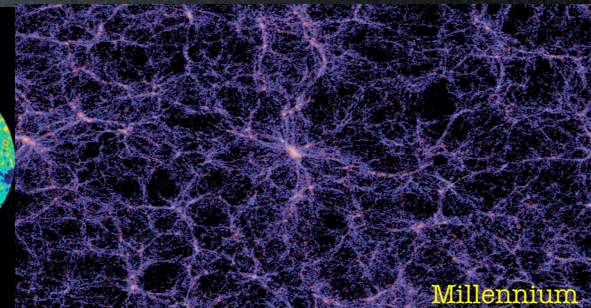
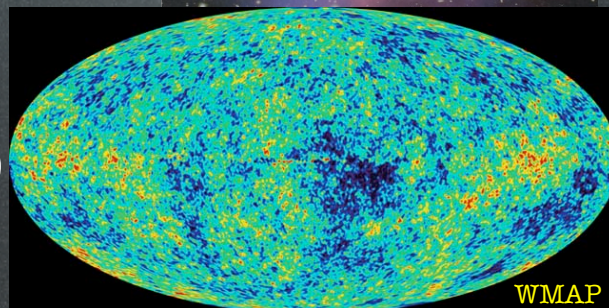
$$\Omega_M \gtrsim 0.1$$

2) clusters of galaxies



$$\Omega_M \sim 0.2 \div 0.4$$

3) CMB+LSS(+SNIa:)

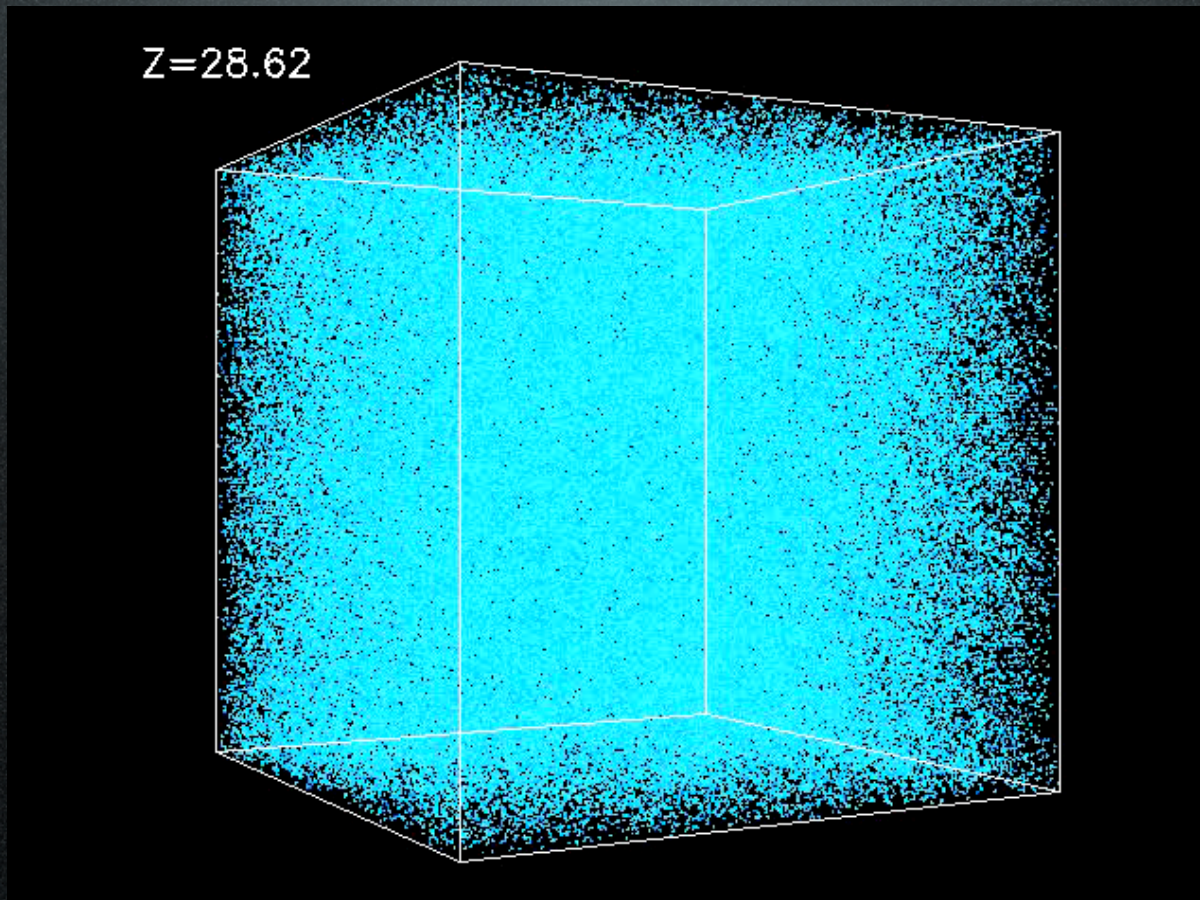


DM N-body simulations

2×10^6 CDM particles, 43 Mpc cubic box

DM N-body simulations

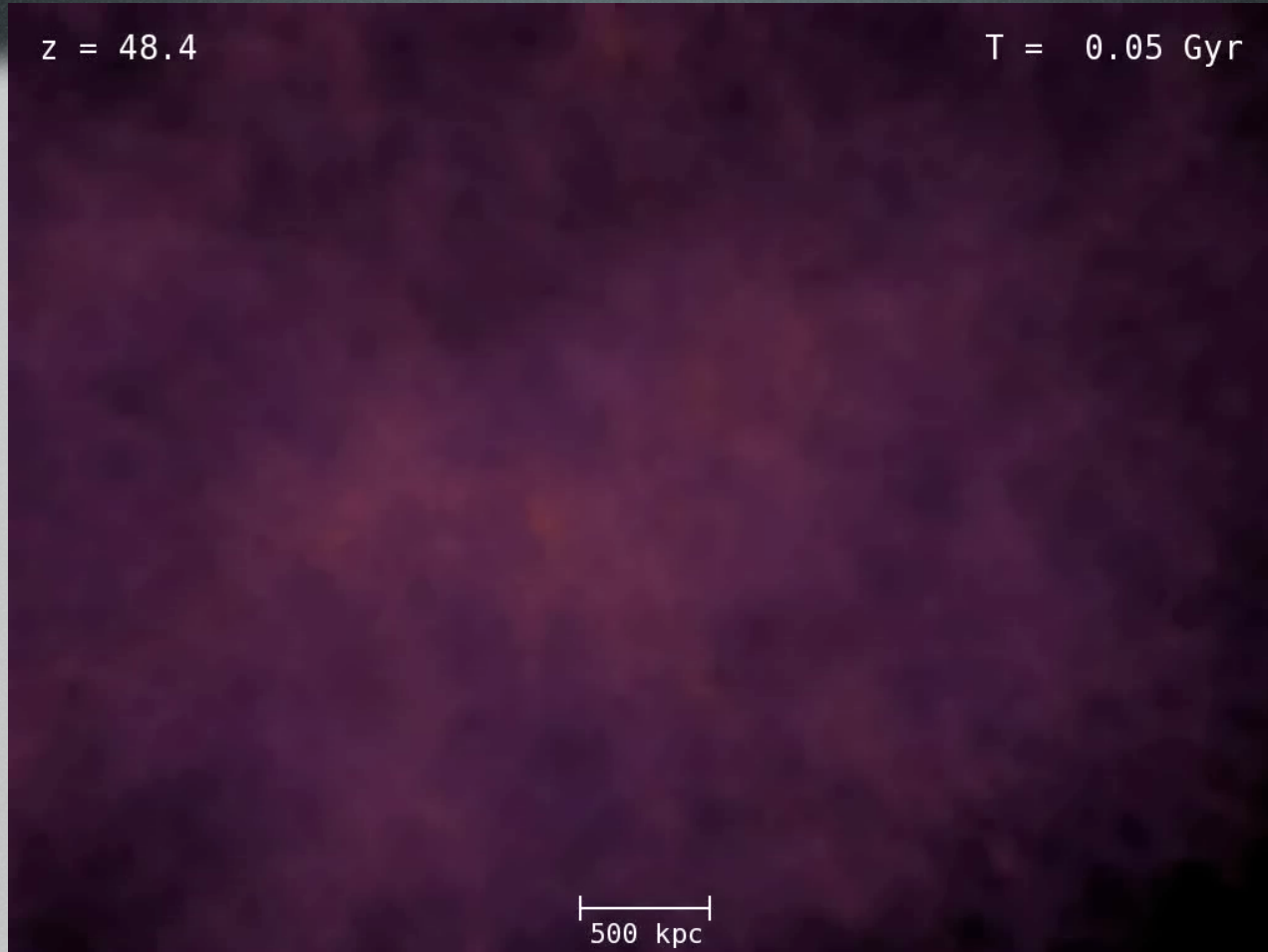
2×10^6 CDM particles, 43 Mpc cubic box



DM N-body simulations

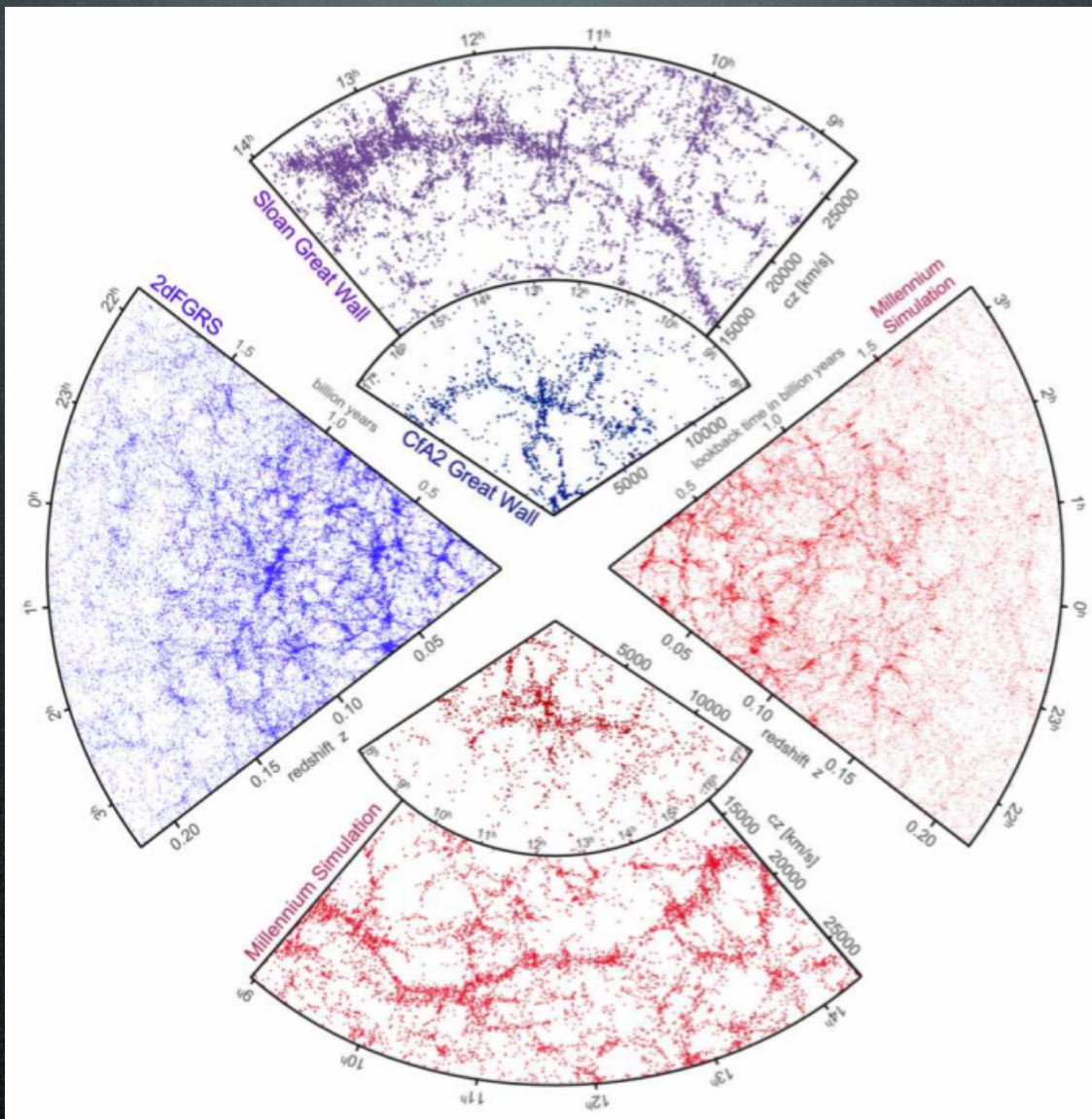
Aquarius project of the VIRGO coll.:

1.5×10^9 CDM particles, single galactic halo



DM N-body simulations

2dF: 2.2×10^5 galaxies
SDSS: 10^6 galaxies,
2 billion lyr



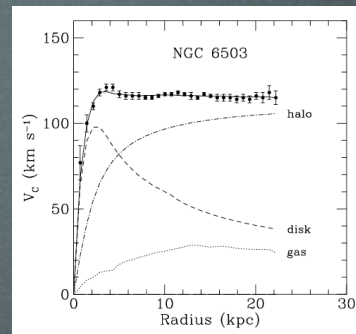
Springel, Frenk, White, Nature 440 (2006)

Millennium:
 10^{10} particles,
 $500 h^{-1} \text{ Mpc}$
[back]

Of course, you have to
infer galaxies within the
DM simulation

The Evidence for DM

1) galaxy rotation curves



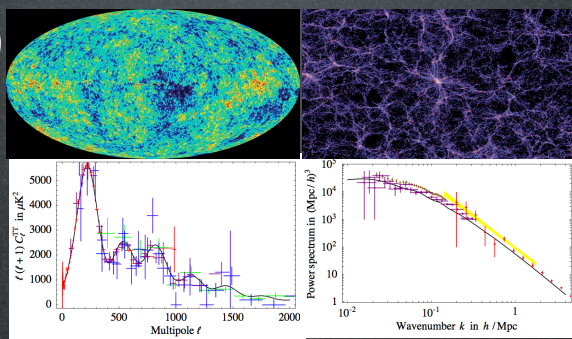
$$\Omega_M \gtrsim 0.1$$

2) clusters of galaxies



$$\Omega_M \sim 0.2 \div 0.4$$

3) CMB+LSS(+SNIa:)



$$\Omega_M \approx 0.26 \pm 0.05$$

What is DM?

What do we know of the
particle physics properties of
Dark Matter?

DM can **NOT** be:

an astro *je ne sais pas quoi:*

DM can **NOT** be:

an astro *je ne sais pas quoi*:

- neutrons
- gas
- Black Holes
- brown dwarves

DM can **NOT** be:

an astro *je ne sais pas quoi*:

- ~~neutrons~~
- gas
- Black Holes
- brown dwarves

DM can **NOT** be:

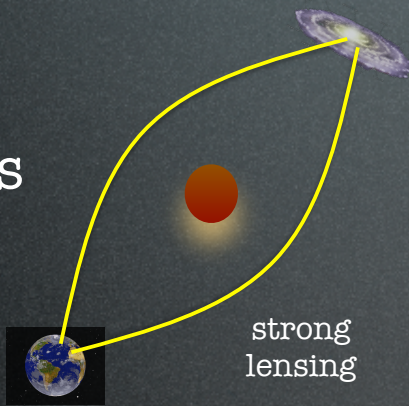
an astro *je ne sais pas quoi*:

- ~~neutrons~~
- ~~gas~~
- Black Holes
- brown dwarves

DM can **NOT** be:

an astro *je ne sais pas quoi*:

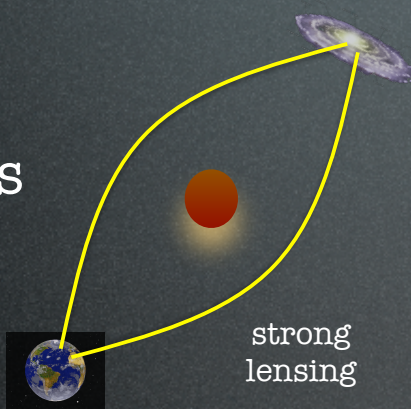
- ~~neutrons~~
- ~~gas~~
- ~~Black Holes~~
- ~~brown dwarves~~



DM can **NOT** be:

an astro *je ne sais pas quoi*:

- ~~neutrons~~
- ~~gas~~
- ~~Black Holes~~
- ~~brown dwarves~~

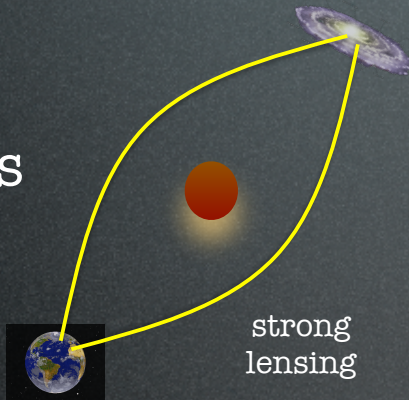


| a baryon of the SM:

DM can **NOT** be:

an astro *je ne sais pas quoi*:

- ~~neutrons~~
- ~~gas~~
- ~~Black Holes~~
- ~~brown dwarves~~

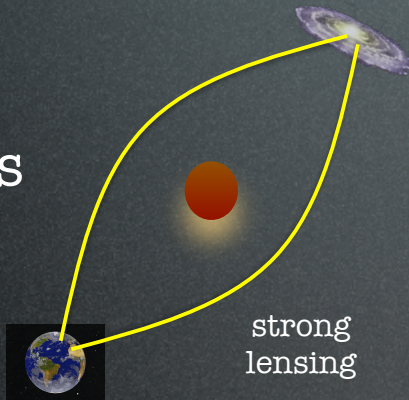


- | - a ~~baryon of the SM~~:
- | - BBN computes the abundance of He in terms of primordial baryons:
too much baryons => Universe full of Helium
- | - CMB says baryons are 4% max

DM can **NOT** be:

an astro *je ne sais pas quoi*:

- ~~neutrons~~
- ~~gas~~
- ~~Black Holes~~
- ~~brown dwarves~~



| a ~~baryon of the SM~~:

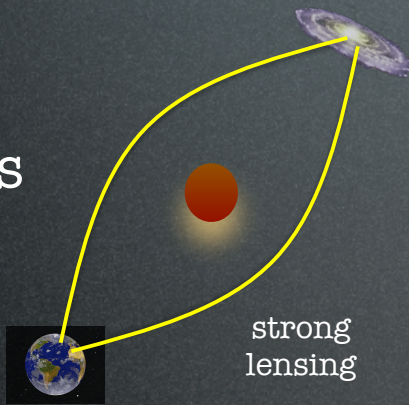
- | - BBN computes the abundance of He in terms of primordial baryons:
| too much baryons => Universe full of Helium
- | - CMB says baryons are 4% max

neutrinos:

DM can **NOT** be:

an astro *je ne sais pas quoi*:

- ~~neutrons~~
- ~~gas~~
- ~~Black Holes~~
- ~~brown dwarves~~



~~a baryon of the SM:~~

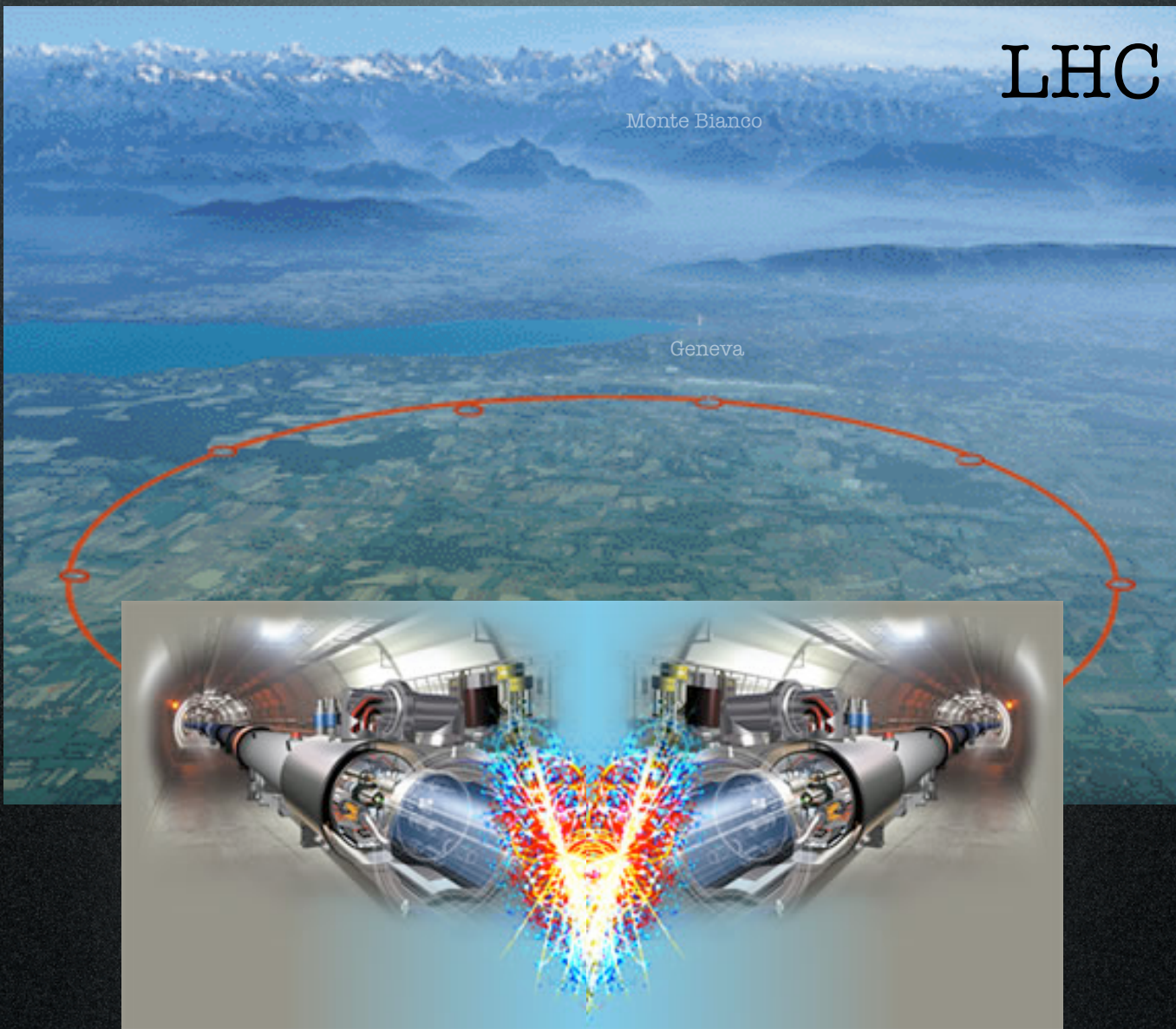
- BBN computes the abundance of He in terms of primordial baryons:
too much baryons => Universe full of Helium
- CMB says baryons are 4% max

~~neutrinos:~~

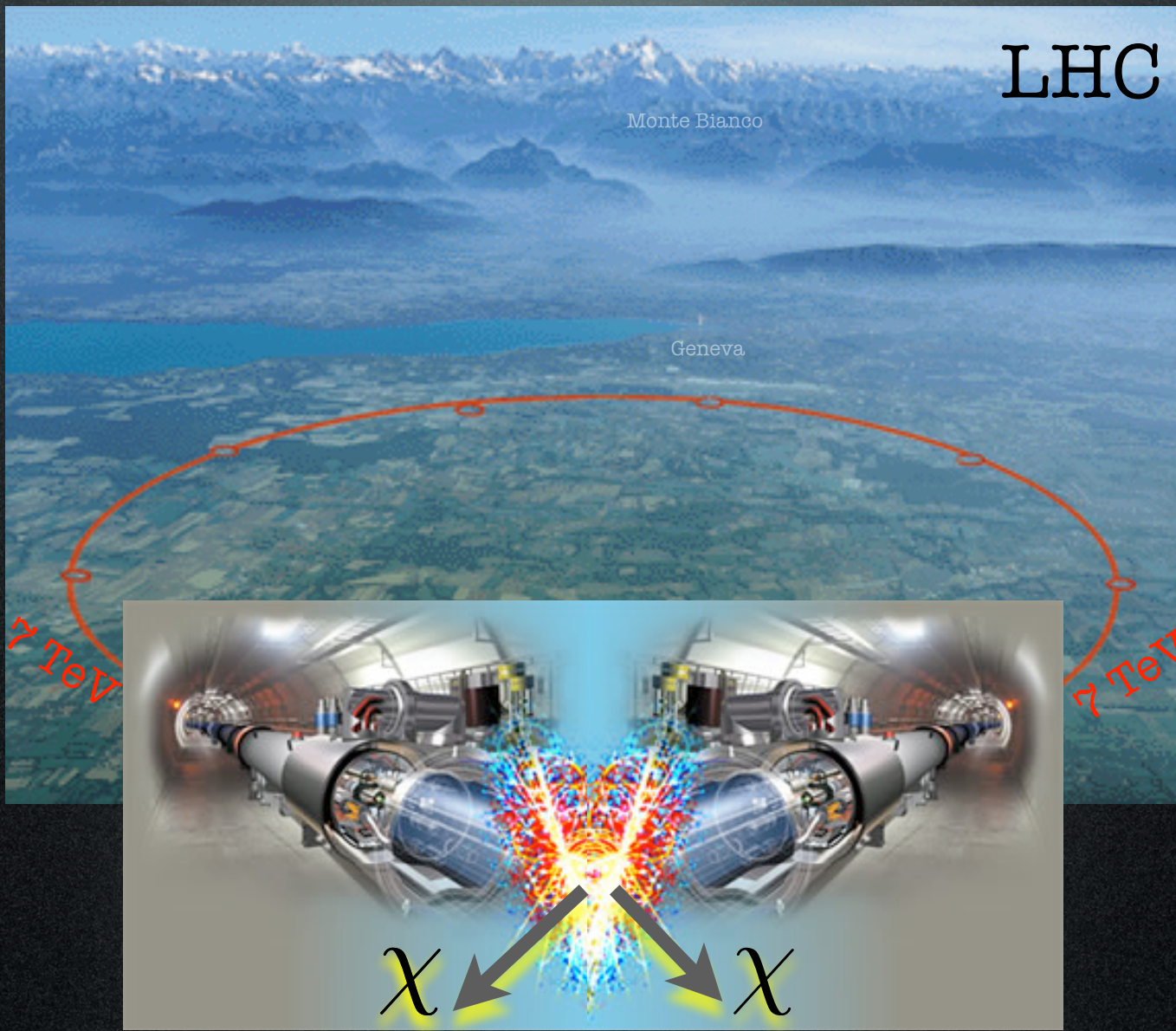
too light! $m_\nu \lesssim 1 \text{ eV}$

do not have enough mass to act as gravitational attractors in galaxy collapse

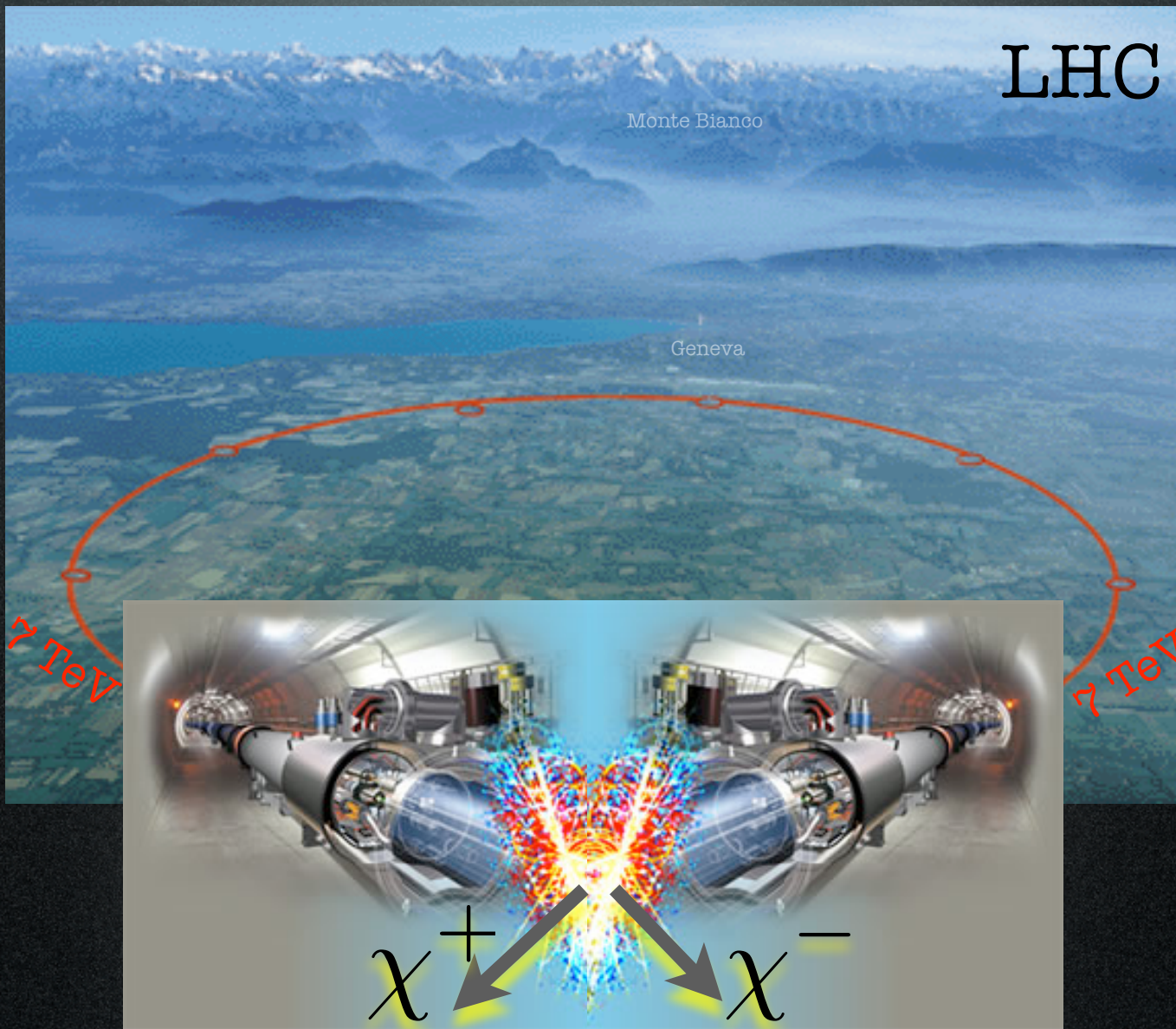
2. Production at colliders



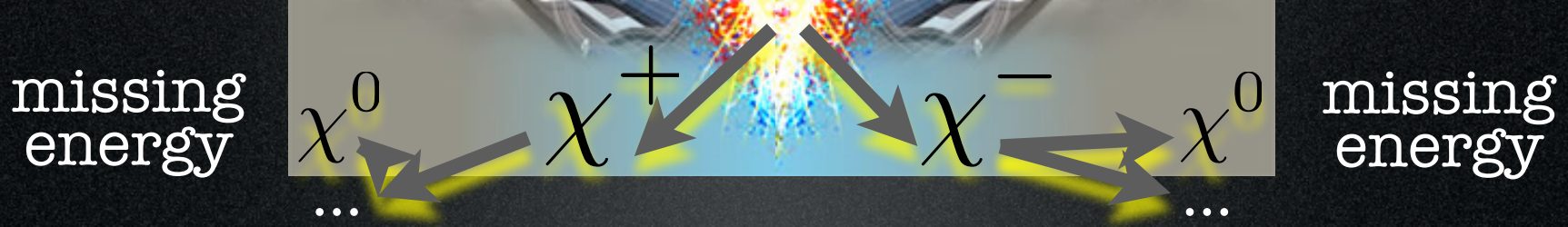
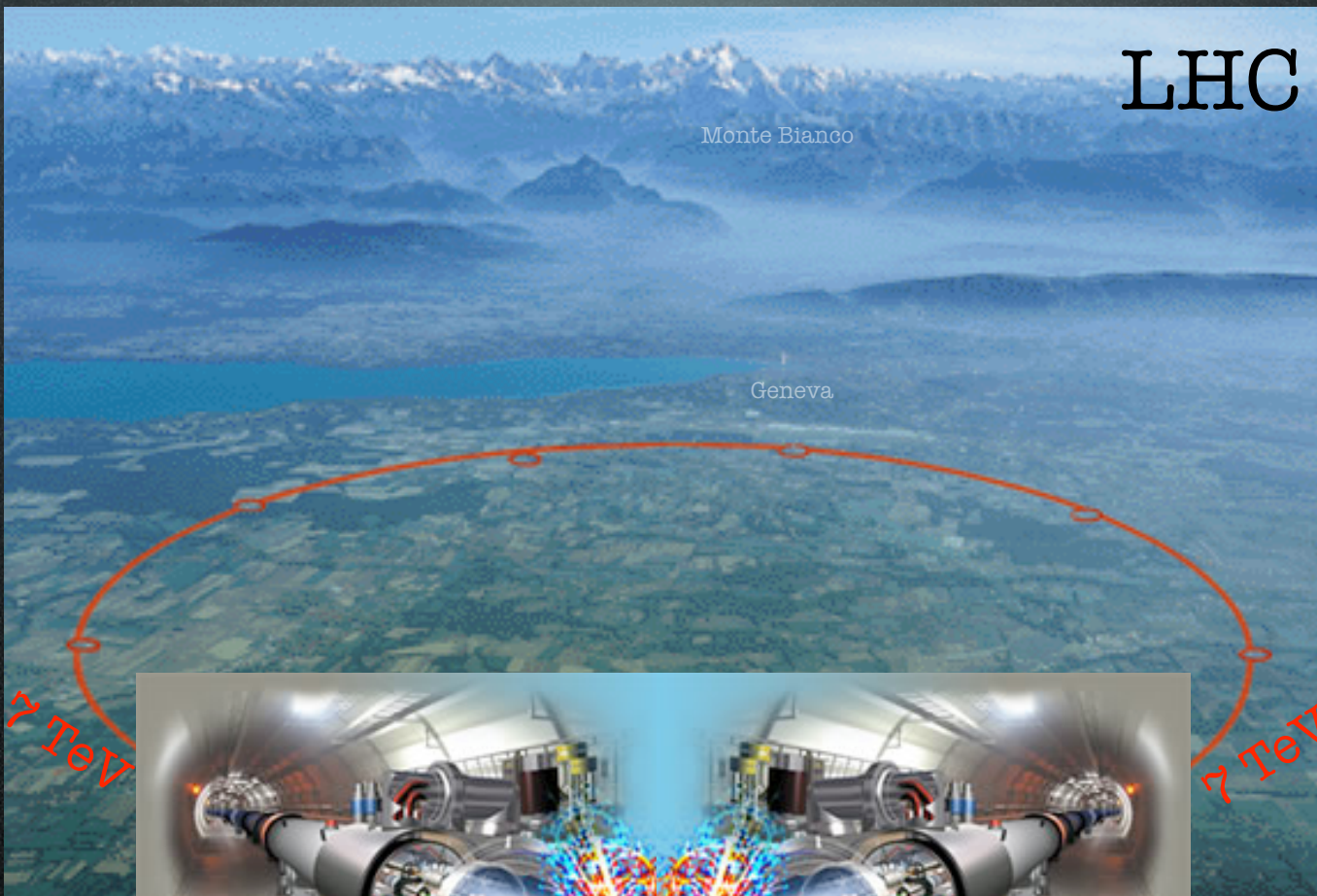
2. Production at colliders

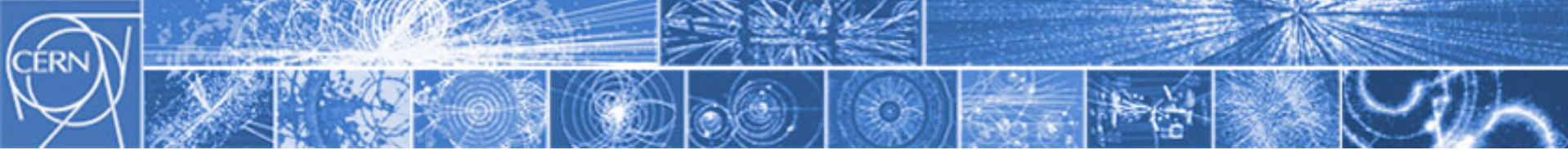


2. Production at colliders



2. Production at colliders





Problemi aperti in Fisica delle Particelle

- l'origine della massa e il bosone di Higgs



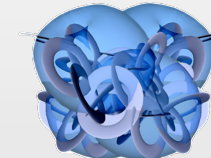
- la supersimmetria

(forse c'è un partner supersimmetrico per ogni tipo di particella nota!)



- le dimensioni dello spazio-tempo

(forse ci sono più di 3 dimensioni spaziali!)



- la Materia Oscura

(una particella sconosciuta che costituisce l'80% della materia dell'Universo!)



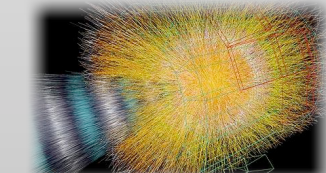
- l'asimmetria tra materia e antimateria

(dove è finita tutta l'antimateria dell'Universo?)



- il plasma di quarks e gluoni

(come diventa la materia nucleare a energie e densità elevatissime?)



- ...

